

Метод определения влияния конструктивно - технологических параметров односрезного болтового соединения на распределение контактных давлений в зоне сопряжения его элементов

Национальный аэрокосмический университет им. Н.Е. Жуковского «ХАИ»

При определении характеристик напряженно-деформированного состояния в элементах срезного болтового соединения должны учитываться особенности структуры нагружения и условия контактного взаимодействия болта с элементами соединения. Эти особенности связаны с наличием эксцентриситета передачи нагрузки элементами соединения, который приводит к возникновению в элементах этого соединения напряженного состояния моментной структуры и неравномерного распределения погонных сил взаимодействия по площади контакта болта со стенками отверстия.

В общем случае силовая связь (болт) в срезном соединении двух деталей может передавать усилие P и изгибающие моменты M (рис. 1).

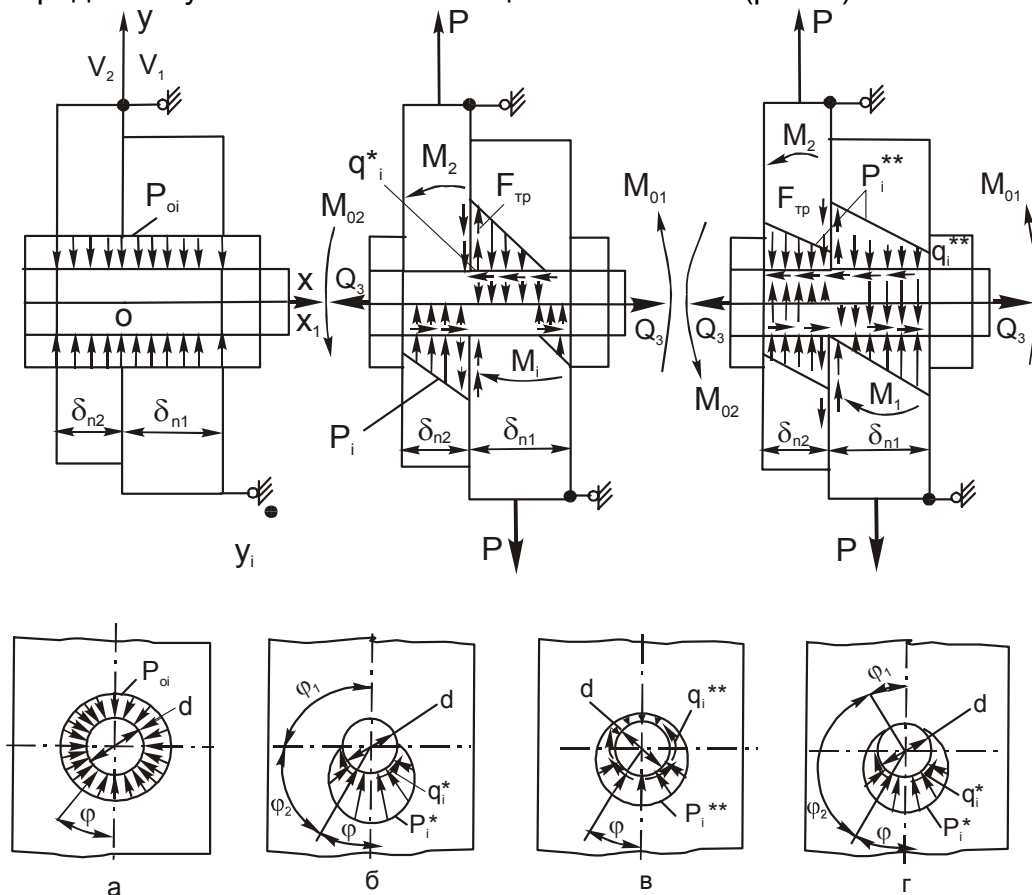


Рис. 1. Расчетная схема односрезного болтового соединения

При моделировании контактного взаимодействия пластин и болта в односрезном соединении пластины представлены в виде упругих оснований. В процессе работы болт нагружается как балка, работающая на изгиб и сдвиг, через упругое основание нормальной $p_i(x)$ и касательной $q_i(x)$ нагрузками, реактивными опорными моментами в сечениях по плоскостям контакта гайки и головки болта с соединяемыми пластинами. На болт и соединяемые пластины действует усилие затяжки болта Q_3 .

В отличие от известных ранее из литературных источников [1, 2] в предлагаемой модели учтены нормальная p_{0i} и касательная q_{0i} (силы трения) нагрузки на болт, вызванные радиальным натягом и влияющие на характер его контактного взаимодействия.

В работе [3] поставленная задача решена только в пределах упругого взаимодействия болта с соединяемыми пластинами при условии, что контактные напряжения от натяга больше контактных напряжений от внешней нагрузки.

Целью данной статьи является разработка метода определения характеристик контактного взаимодействия болта с соединяемыми пластинами при упругопластических натягах, учитывающая возможный отрыв болта от стенки отверстия при больших внешних нагрузках и возникающий при этом контакт болта со стенкой отверстия не по всей длине окружности ($0 \leq \varphi_1 < \frac{\pi}{2}$, см. рис. 1, г).

Предложенная методика определения влияния конструктивно – технологических параметров односрезного болтового соединения на распределение контактных давлений в зоне сопряжения его элементов включает в себя:

1. Анализ физического взаимодействия элементов односрезного одноболтового соединения и выделение основных конструктивно – технологических факторов, определяющих его качество и усталостную долговечность, разработку расчетной схемы соединения с учетом контактного взаимодействия и истории нагружения.
2. Составление дифференциального уравнения, описывающего контактное взаимодействие болта с соединяемыми листами односрезного соединения.
3. Формулирование граничных условий для дифференциального уравнения упругой оси болта в зонах сопряжения гайки и головки болта с соединяемыми листами, и листов друг с другом.
4. Интегрирование дифференциального уравнения упругой оси болта с учетом граничных условий.
5. Итерационный поиск решения составленной краевой задачи изгиба упругой оси болта.
6. Определение величины контактных давлений в сопрягаемых зонах соединения.

Прежде чем непосредственно перейти к рассмотрению методики расчета, примем ряд условных обозначений для величин, применяемых в ней:

p_j - погонная нормальная нагрузка по линии контакта болта и соединяемых пластин, вызванная действием внешней нагрузки, приложенной к соединению;

V_i - обмятие соединяемой пластины;
 γ_j - коэффициент жесткости материала соединяемой пластины;
 q_i - погонная касательная нагрузка по линии контакта болта и соединяемых пластин, вызванная действием внешней нагрузки;
 f_i - коэффициент трения между болтом и соединяемыми пластинами;
 d - диаметр болта;
 $\underline{\psi}$ - величина радиального натяга;
 $\overline{\psi}$ - величина относительного радиального натяга, выраженная в процентах к диаметру болта;
 p_i^* - контактное давление между болтом и стенкой отверстия в соединяемой пластине, вызванное действием внешней нагрузки на соединение при установке болта по скользящей посадке;
 q_i^* - силы трения между болтом и стенкой отверстия в пластине, вызванные действием контактных давлений ;
 p_{0i} - контактное давление между болтом и стенкой отверстия в соединяемой пластине, возникающее при установке болта с радиальным натягом;
 q_{0i} - силы трения между болтом и стенкой отверстия в пластине, вызванные действием контактных давлений p_{0i} ;
 p_i^{**} - контактное давление между болтом и стенкой отверстия в соединяемой пластине, вызванное действием внешней нагрузки на соединение при установке болта с радиальным натягом;
 q_i^{**} - силы трения между болтом и стенкой отверстия в пластине, вызванные действием контактных давлений p_i^{**} ;
 b - ширина пластины;
 E_1 - модуль упругости материала болта;
 E_{2i} - модуль упругости материала соединяемой пластины;
 μ_1 - коэффициент поперечной деформации материала болта;
 y - функция, характеризующая прогиб оси болта;
 k - коэффициент, учитывающий влияние формы поперечного сечения болта на деформации сдвига;
 F_{i1} - площадь поперечного сечения болта;
 I_i - момент инерции поперечного сечения болта;
 χ_i - $E_1 \cdot I_i$ – изгибная жесткость элемента;
 G_1 - модуль сдвига материала болта;
 Q_{bi} - поперечная сила в сечении болта;
 M_{bi} - изгибающий момент в сечении болта;
 δ_{n1}, δ_{n2} - толщины соединяемых пластин;
 Q_3 - усилие затяжки болта;
 S_i - размер под ключ гайки или головки болта;
 $F_{0Б}$ - сила трения между соединяемыми пластинами;
 f - коэффициент трения между соединяемыми пластинами;

P - внешняя нагрузка, действующая на соединение;
 k - коэффициент неравномерности погонной нормальной контактной нагрузки;
 v_c, v_{\pm} - коэффициент неравномерности контактных давлений под гайкой и головкой болта соответственно;
 M_{0i} - опорный изгибающий момент в сечении по плоскости контакта гайки или головки болта с соединяемыми пластинами. В ненагруженном состоянии системы координат $(X O Y)$, $(X_1 O_1 V_1)$ и $(X_2 O_2 V_2)$ совпадают. В нагруженном состоянии система координат $(X_2 O_2 V_2)$ сдвигается относительно системы координат $(X_1 O_1 V_1)$ на расстояние $|v_1| + |v_2|$. Система координат $(X O Y)$, связанная с болтом, относительно системы координат $(X_1 O_1 V_1)$ поворачивается на угол θ и перемещается на расстояние $|v_1|$ (см. рис. 2).

В процессе нагружения соединения болт подвергается деформациям сдвига и изгиба, а также поворачивается относительно точки O как абсолютно жесткое тело. Пластины обминаются и сдвигаются одна относительно другой. Пусть функция $V_i(x)$ характеризует обмятие пластины. Полагаем, что функция, описывающая прогиб оси болта $y(x)$, связана с обмятием материала пластин $V(x)$ соотношением

$$y(x) = V(x) + \theta \cdot x + b_i, \quad (1)$$

где b_i - перемещение (смещение) пластины относительно болта как абсолютно жёсткого тела (рис. 2); θ - угол поворота болта как абсолютно жёсткого тела вокруг точки O .

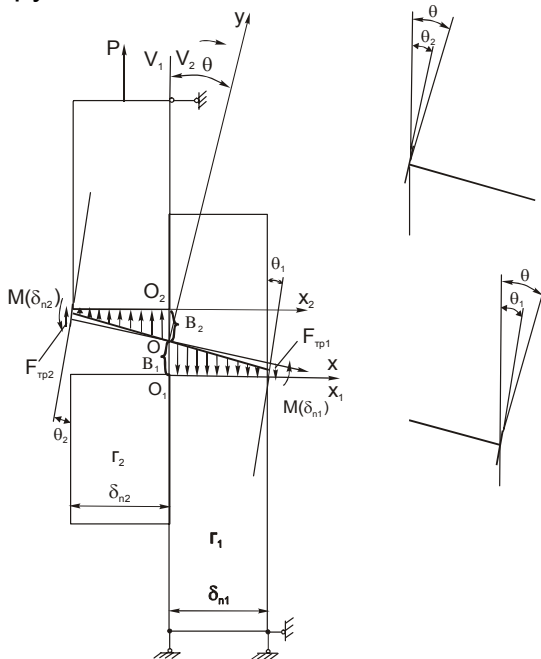


Рис. 2. Схема перемещения пластин и болта при нагружении односрезного соединения

Принято, что положительное перемещение направлено вдоль оси Y , а положительное направление угла поворота - против часовой стрелки. Внешние сосредоточенные силы и распределённая нагрузка, приложенная к болту, считаются положительными, если они направлены в сторону положительных ординат. Реакция основания считается положительной, если она направлена в сторону отрицательных ординат. Поперечная сила положительна, если она стремится повернуть болт по часовой стрелке. Изгибающий момент положителен, когда он стремится изогнуть болт выпуклостью в сторону отрицательных ординат.

Вторая производная от прогиба оси болта положительна, если ось болта изгибается выпуклостью в сторону отрицательных ординат.

Допустим, что в соединениях без радиального натяга контакт между пластинами и болтом происходит по половине его боковой поверхности $\varphi_1 = \frac{\pi}{2}$ (см. рис. 1,б), а в соединениях с радиальным натягом - по всей боковой поверхности болта (см. рис. 1,в) или в пределах $0 \leq \varphi_1 \leq \frac{\pi}{2}$ (см. рис. 1,г).

Погонные нормальная и касательная нагрузки, действующие на болт, определяются выражениями

$$p_i(x) = -\gamma_i \cdot d \cdot V_i(x); \quad q_i(x) = f_i \cdot p_i(x). \quad (2)$$

Считаем, что контактные давления, возникающие при взаимодействии болта с пластинами срезного соединения, распределены по поверхности контакта болта со стенкой отверстия [2]

$$p_i^*(x, \varphi) = p_i^*(x, 0) \cdot \cos \varphi \quad (3)$$

и связаны с погонной нормальной нагрузкой соотношением

$$p_i^*(x, \varphi) = \frac{4}{\pi \cdot d} \cdot p_i(x) \cdot \cos \varphi \quad (4)$$

Силы трения связаны с погонной касательной нагрузкой

$$q_i^*(x, \varphi) = \frac{4}{\pi \cdot d} \cdot q_i(x) \cdot \cos \varphi \quad (5)$$

В соединениях без радиального натяга контактные давления p_i^* и силы трения q_i^* действуют в интервале $\varphi \in \left[-\frac{\pi}{2}; \frac{\pi}{2}\right]$.

В соединениях с радиальным натягом дополнительно к контактным давлениям и силам трения от внешней нагрузки появляются контактные давления и силы трения, вызванные натягом (см. рис. 1,а). Суммарные контактные давления и силы трения болта с пластинами (см. рис. 1,г) определяются выражениями

$$\begin{aligned} p_i^{**}(x, \varphi) &= p_i^*(x, \varphi) + p_{oi}; \\ q_i^{**}(x, \varphi) &= q_i^*(x, \varphi) + q_{oi}; \\ \varphi &\in [-\pi; \pi] \end{aligned} \quad (6)$$

Контактные давления p_{oi} и силы трения q_{oi} , возникающие при установке болта с радиальным натягом, рассчитываются по методике, приведенной в работе [1].

Чтобы перейти от контактных давлений к погонной контактной нагрузке, выразим погонные контактные нагрузки, вызванные радиальным натягом, через контактные давления на поверхности цилиндрической части болта.

С учётом (3), (4), (5) выражение (6) запишем в виде

$$p_i^{**}(x, \varphi_1) = \frac{4}{\pi \cdot d} \cdot p_i(x) \cdot \cos \varphi + \frac{A_i}{d}, \quad (7)$$

$$q_i^{**}(x, \varphi_1) = \frac{4}{\pi \cdot d} \cdot p_i(x) \cdot f_i \cdot \cos \varphi + f_i \cdot \frac{A_i}{d},$$

(8)

где $A_i = P_{oi} \cdot d$.

Составим для элемента болта бесконечно малой длины dx , нагруженного контактным давлением p_i^{**} и силами трения q_i^{**} , уравнения равновесия (рис. 3).

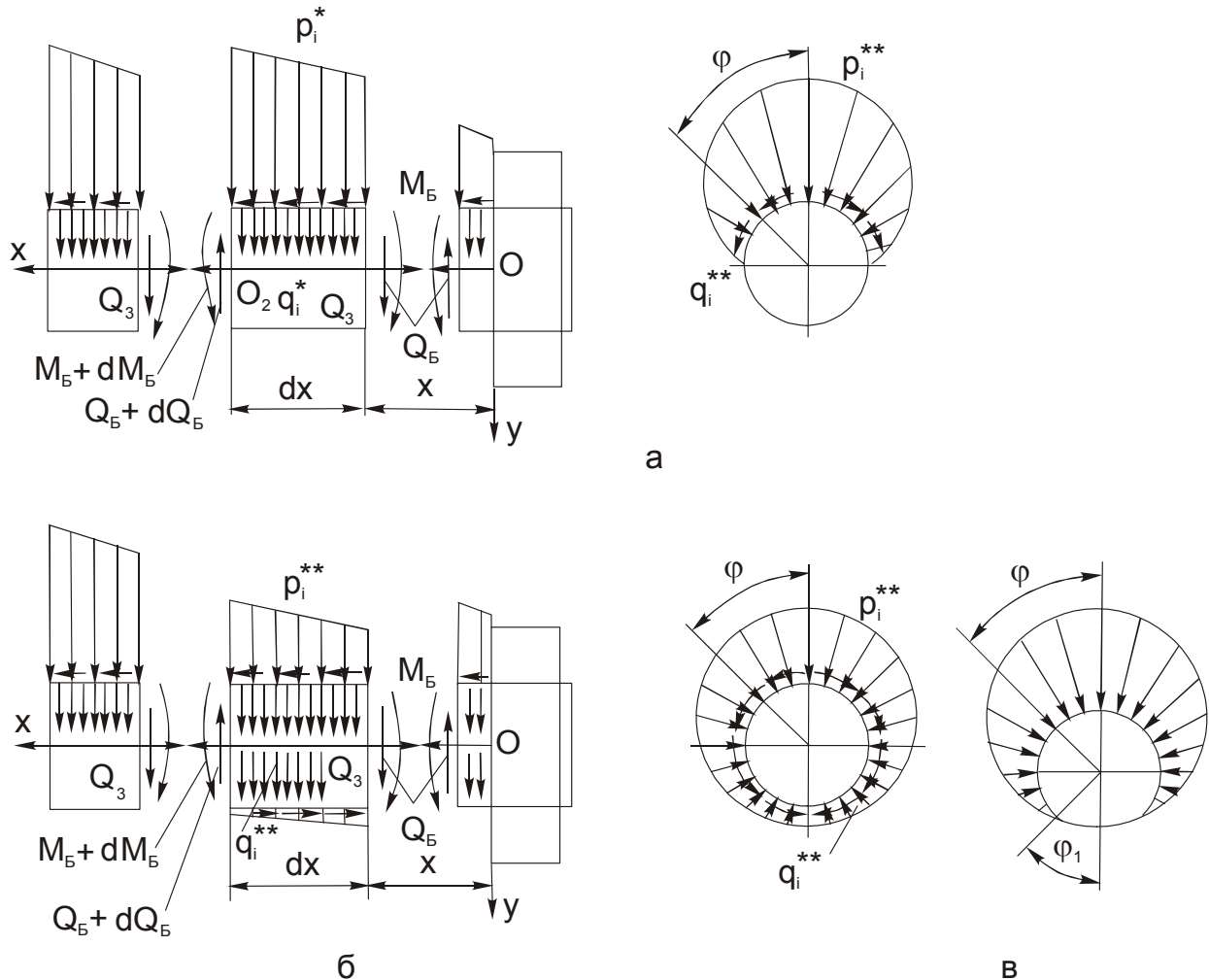


Рис. 3. Силы, действующие на элемент болта бесконечно малой длины dx , и возникающие при этом внутренние силовые факторы Q_B и M_B для случаев: а) болт установлен без натяга; б, в - болт установлен с натягом

Спроектируем силы, действующие на элемент болта на ось y :

$$Q_{\dot{A}} - Q_{\dot{A}} - dQ_{\dot{A}} + 2 \cdot \left[\int_0^{\varphi_2} \left(\tilde{p}_i(x, \varphi) \cdot \cos \varphi \cdot \frac{d}{2} \right) d\varphi + \int_0^{\varphi_2} \left(\tilde{q}_i(x, \varphi) \cdot \sin \varphi \cdot \frac{d}{2} \right) d\varphi \right] dx = 0; (9)$$

$$\tilde{p}_i(x, \varphi) = \begin{cases} p_i^*(x, \varphi), \psi = 0, \\ p_i^{**}(x, \varphi), \psi > 0; \end{cases} \quad \tilde{q}_i(x, \varphi) = \begin{cases} q_i^*(x, \varphi), \psi = 0, \\ q_i^{**}(x, \varphi), \psi > 0; \end{cases} \quad \varphi_2 = \begin{cases} \frac{\pi}{2}, \psi = 0, \\ \frac{\pi}{2} \leq \varphi_2 \leq \pi, \psi > 0; \end{cases}$$

$$\varphi_2 = \pi - \varphi_1.$$

Составим уравнение суммы моментов для элемента болта относительно точки O_1 :

$$M_B + dM_B - M_B + Q_3 dy - Q_B dx + 2 \cdot \left[\int_0^{\varphi_2} \left(\tilde{q}_i(x, \varphi) \cdot \frac{d^2}{4} \cdot \cos \varphi \right) d\varphi \right] dx = 0. \quad (10)$$

После подстановки выражений (7) и (8) в уравнения (9) и (10) и выполнив математические преобразования получаем условия, связывающие внутренние силовые факторы поперечную силу Q_3 и изгибающий момент M_3 с погонными нагрузками $p_i(x), q_i(x)$ и погонной нагрузкой от действия радиального натяга:

$$\frac{dQ_B}{dx} = -[k_1(x) + k_2(x)] \cdot \alpha(x) \cdot V_i(x) + NZ \cdot \beta(x) \cdot A_i, \\ \frac{dM_B}{dx} = Q_B + [k_1(x) + k_2(x)] \cdot \alpha_1(x) \cdot f d \cdot V_i(x) \cdot NZ - \beta_1(x) \cdot f d \cdot A_i + \frac{dy}{dx} \cdot Q_3, \quad (11)$$

$$\text{где } \hat{e}_1(\delta) = \begin{cases} \gamma_1 d, x \in \tilde{A}_1, \\ 0, \delta \in G \setminus \tilde{A}_1; \end{cases} \quad \hat{e}_2(\delta) = \begin{cases} \gamma_2 d, x \in \tilde{A}_2, \\ 0, \delta \in G \setminus \tilde{A}_2. \end{cases}$$

Если соединение листов из одинакового материала ВТ6, то $k_1(x) = k_2(x) = \gamma d$. Выражения несколько упростятся и примут вид:

$$\frac{dQ_A}{dx} = -\gamma d \cdot \alpha(x) \cdot V_i(x) + NZ \cdot \beta(x) \cdot A_i; \\ \frac{dM_A}{dx} = Q_A + \gamma d^2 \cdot \alpha_1(x) \cdot f \cdot V_i(x) \cdot NZ - \beta_1(x) \cdot f d A + \frac{dy(x)}{dx} Q_\varphi, \quad (12)$$

$$\text{где } \alpha(x) = 2 - \frac{1}{\pi} (\sin 2\varphi_1 + 2\varphi_1 - 2f \cdot \sin^2 \varphi_1); \quad NZ = \begin{cases} -1, V(x) > 0. \\ 1, V(x) < 0; \end{cases}$$

$$\beta(x) = \sin \varphi_1 + f(1 + \cos \varphi_1); \quad \beta_1 = 1 - \frac{\sin \varphi_1}{2}; \quad \alpha_1 = \frac{1}{\pi} \left(\frac{\sin 2\varphi_1}{2} + \varphi_1 \right); \quad \varphi_1 = \pi - \varphi_2,$$

Деформации изгиба и сдвига болта связаны с внутренними силовыми факторами M_3 и Q_3 известной дифференциальной связью [5]

$$\frac{d^2y(x)}{dx^2} = \frac{M_3}{E_1 \cdot J_i} - \frac{k}{G_1 \cdot F_i} \cdot \frac{dQ_3}{dx}. \quad (13)$$

После двукратного дифференцирования выражения (13) имеем

$$E_1 J_i \frac{d^4y(x)}{dx^4} = \frac{d^2M_3}{dx^2} - k \cdot \frac{E_1 \cdot l_i}{G_1 \cdot F_i} \cdot \frac{d^3Q_3}{dx^3}. \quad (14)$$

Выражения для $\frac{d^2M_3}{dx^2}$ и $\frac{d^3Q_3}{dx^3}$ получаем после подстановки выражений (1) и (2) в зависимость (12) и дифференцирования:

$$\begin{aligned} \frac{d^2M_3}{dx^2} &= \frac{d^2y(x)}{dx^2} \cdot Q_3 - \alpha(x) \cdot \gamma \cdot dV(x) + [\alpha_1(x)fd^2V(x)]'NZ - \beta_1'(x)fd \cdot A \cdot NZ; \\ \frac{d^3Q_3}{dx^3} &= -[\alpha(x) \cdot \gamma dV(x)]'' + \beta''(x) \cdot NZ \cdot A. \end{aligned} \quad (15)$$

Обозначим $\chi = E_1 \cdot l_1 = E_1 \cdot l_2$; $k_i = \gamma_i d$; $k_{TI} = f_i \cdot d$; $k_c = \frac{k \cdot EI}{G_1 F}$.

Тогда дифференциальное уравнение упругой линии болта (14) с учётом деформаций сдвига, влияния сил трения и радиального натяга после подстановки (15) в (14) и преобразований примет вид

$$\begin{aligned} \chi y^{IV} - [k_c \alpha(x) k_i + Q_3] \cdot y'' - [2k_c k_i \alpha'(x) + \alpha_1(x) k_i k_{TI} \cdot NZ] y' + \\ + [\alpha(x) k_i - \alpha_1'(x) k_{TI} k_i \cdot NZ - k_c k_i \alpha''(x)] y = A \cdot NZ [\beta(x) - \beta''(x) k_c - \beta_1'(x) k_{TI}] + \\ + \{ [2k_c k_i \alpha'(x) + \alpha_1(x) k_i k_{TI} \cdot NZ] - [\alpha(x) k_i - \alpha_1'(x) k_{TI} k_i NZ - \\ - k_c k_i \alpha''(x)] x \} \cdot \theta - [\alpha(x) k_i - \alpha_1'(x) k_i - \alpha_1'(x) \cdot k_{TI} k_i \cdot NZ - k_c k_i - \alpha''(x)] \cdot \hat{a}. \end{aligned} \quad (16)$$

Обозначим

$$\begin{aligned} a_{2i} &= \begin{cases} -[k_c \alpha(x) k_i + Q_3], & x \in \tilde{A}_i, \\ 0, & x \in (G \setminus \tilde{A}_i); \end{cases} \\ a_{1i} &= \begin{cases} -[2k_c k_i \alpha'(x) + \alpha_1(x) k_i k_{TI} \cdot NZ], & x \in \tilde{A}_i, \\ 0, & x \in (G \setminus \tilde{A}_i); \end{cases} \\ a_{0i} &= \begin{cases} \alpha'(x) k_i - \alpha_1'(x) k_{TI} k_i \cdot NZ - k_c k_i \alpha''(x), & x \in \tilde{A}_i, \\ 0, & x \in (G \setminus \tilde{A}_i); \end{cases} \\ b_{0i} &= \begin{cases} NZ[\beta(x) - \beta''(x) k_c - \beta_1'(x) k_{TI}], & x \in \tilde{A}_i, \\ 0, & x \in (G \setminus \tilde{A}_i); \end{cases} \\ l=1,2; \quad v &= \begin{cases} \hat{a}_1, \quad \tilde{\theta} \in \tilde{A}_1, \\ \hat{a}_2, \quad x \in \tilde{A}_2. \end{cases} \end{aligned}$$

С учетом принятых обозначений дифференциальное уравнение (16) примет вид

$$\chi y'' + a_{2i} y'' + a_{1i} y' + a_{0i} y = \hat{a}_{0i} \cdot \hat{A} - (a_{1i} + a_{0i} X) \cdot \theta - a_{0i} \cdot \hat{a}. \quad (17)$$

Произвольные постоянные (θ и v) в дифференциальном уравнении (17) определяются из граничных условий на концах болта. Будем считать, что головка болта расположена со стороны элемента 2, а гайка - со стороны элемента 1.

Рассмотрим более подробно граничные условия в сечениях, по которым происходит контакт гайки и головки болта с соединяемыми пластинами. Система координат ($X_1 O_1 V_1$) (см. рис. 2) жестко связана с пластиной 1. В процессе деформирования она неподвижна. Система координат (XOY) связана с болтом и перемещается с ним как с абсолютно жестким телом. В этой системе координат записывается дифференциальное уравнение изгиба упругой оси болта и определяются величины прогибов болта. Система координат ($X_2 O_2 V_2$) жестко связана с пластиной 2. В процессе деформирования она сдвигается относительно системы координат ($X_1 O_1 V_1$) на величину $v_1 + |v_2|$.

Величины обмятий пластин в контактной зоне по стенке отверстия, прогибов болта и погонной контактной нагрузки в рассматриваемых системах координат будут иметь следующее соответствие знаков:

в системе координат ($X_1 O_1 V_1$) $x \in \tilde{A}_1$ $V_1 = \hat{a}_1 + \theta x + y$; $V_1 > 0$; $p(x) < 0$; $y < 0$; $NZ = -1$; $v_1 > 0$; $\theta < 0$.

В системе координат ($X_2 O_2 V_2$) $x \in \tilde{A}_2$ $V_2 = \hat{a}_2 + \theta x + y$; $V_2 < 0$; $p(x) > 0$; $y > 0$; $NZ = 1$; $v_1 < 0$; $\theta < 0$.

При повороте по часовой стрелке угол поворота болта как абсолютно жесткого тела в системах координат ($X_1 O_1 V_1$) и ($X_2 O_2 V_2$) считаем отрицательным: $\theta < 0$. Граничные условия на концах болта в системе координат (XOY) для углов поворота – будут иметь вид:

$\theta_1 = \theta$ - абсолютно жесткая связь головки и тела болта;

$\theta_1 = 0$ - абсолютно податливая связь головки и тела болта (заклепка).

Для болта с реальной жесткостью связи головки болта или гайки с телом болта:

$y'(\delta_{n1}) = -(\theta + \theta_1)$ - со стороны гайки;

$y'(\delta_{n2}) = -(\theta + \theta_2)$ - со стороны головки болта.

$$\theta_1 = M_{01}(k_{11} + k_{22}) + \frac{NZkQ_3f}{G_1F};$$

$$\theta_2 = -M_{02}k_{12} - \frac{NZkQ_3f}{G_1F};$$

$$Q_{A1}(\delta_{n1}) = F_{0E1} - \frac{Q_3 y(\delta_{n1})}{\delta_{n1}}; \quad Q_{A2}(-\delta_{n2}) = F_{0E2} - \frac{Q_3 y(\delta_{n2})}{\delta_{n2}}; \quad (18)$$

$$I_{A1}(\delta_{n1}) = M_{01}; \quad I_{A2}(-\delta_{n2}) = M_{02}.$$

Опорные моменты головки болта и гайки связаны с углами поворота болта в этих сечениях зависимостями

$$M_{01} = \frac{-\theta - y'(\delta_{n1}) - \frac{NZ \cdot k \cdot f Q_3}{G_1 F}}{k_{11} + k_{22}}; \quad M_{02} = \frac{\theta - y'(\delta_{n2}) - \frac{NZ \cdot k \cdot f Q_3}{G_1 F}}{k_{12}}, \quad (19)$$

где k_{11} , k_{12} – коэффициенты податливости углового защемления краев болта, зависящие от геометрических размеров гайки и головки болта и от жесткости материала пластин в контактной зоне под гайкой и головкой болта.

K_{22} – коэффициент податливости углового защемления болта, определяющийся податливостью резьбовой пары «болт – гайка»; - методика его определения приведена в работе [3];

$$k_{ii} = \frac{16 \cdot \omega_1}{\gamma(S_i^4 - d^4)}, \quad \omega_1 = \begin{cases} 2; & Q_3 = 0; \\ 1; & Q_3 > 0. \end{cases} \quad (20)$$

Будем учитывать влияние обмятия материала листов в контактной паре, сдвиг материала болта на $y'(\delta_{ni})$ и податливость в резьбовой паре «болт – гайка»:

$$y'(-\delta_{n2}) = -\theta + \frac{NZ \cdot k \cdot fQ_3}{G_1 F} + \frac{16\omega_1 M_B(-\delta_{n2})}{\gamma(S_i^4 - d^4)}. \quad (21)$$

Из формулы (13) получим после преобразований выражение для $M_B(x)$:

$$M_B(x) = \chi y'' + k_c [-\theta x \alpha(x) k_i - \hat{a} \alpha(x) k_i + A \cdot NZ \beta(x)],$$

где $v = \begin{cases} \hat{a}_1, & x \in \tilde{A}_1, \\ \hat{a}_2, & \delta \in \tilde{A}_2. \end{cases} \quad (22)$

Тогда $y''(\delta_{n1})$ определится по формуле

$$y''(\delta_{n1}) = -\theta \cdot \left[\frac{1}{\chi(k_{11} + k_{22})} - k_{c1} \delta_{n1} \alpha(\delta_{n1}) \cdot k_1 \right] - \frac{y'(\delta_{n1})}{\chi(k_{11} + k_{22})} - \frac{NZ k_{c1} Q_3 f}{\chi(k_{11} + k_{22})} + \quad (23)$$

$$+ k_{c1} y(-\delta_{n1}) \cdot \alpha(\delta_{n1}) \cdot \alpha(\delta_{n1}) \cdot k_1 + \hat{a}_1 \alpha(\delta_{n1}) k_1 k_{c1} - A \cdot NZ \beta(\delta_{n1}) k_{c1},$$

$$\text{èèè } y''(-\delta_{n2}) = \theta \left[\frac{1}{\chi k_{12}} - k_{c1} \delta_{n2} \alpha(-\delta_{n2}) \cdot k_2 \right] + \frac{y'(-\delta_{n2})}{\chi k_{12}} - \frac{NZ k_{c1} f Q_3}{\chi k_{12}} +$$

$$+ k_{c1} y(-\delta_{n2}) \cdot \alpha(-\delta_{n2}) \cdot k_2 + \hat{a}_2 \alpha(-\delta_{n2}) k_{c1} k_2 - A \cdot NZ \cdot \beta(-\delta_{n2}) k_{c1},$$

где $k_{c1} = k_c / \lambda$

Из уравнения (12) найдем выражение для $Q_B(x)$:

$$Q_A = \chi y''' + A [k_c NZ \beta'(x) + k_{\delta i} \beta_1(x) + k_c \{-\theta k_i [\alpha(\chi)x]' - k_i [\alpha(x)y]' - \hat{a} \alpha'(x) k_i\} - NZ k_{T1} \alpha_1(x) [-k_i \theta x + k_i y + k_i \hat{a}] - Q_3 \theta]. \quad (24)$$

Подставим (24) в формулу (18) и проведем преобразования. Тогда выражения для $y'''(\delta_{n1})$ и $y'''(-\delta_{n2})$ будут иметь вид

$$y'''(\delta_{n1}) = \frac{NZ f Q_3}{\chi} - A \cdot [k_{c1} NZ \cdot \beta'(\delta_{n1}) + \frac{k_{T1} \beta_1(\delta_{n1})}{\chi}] + \theta \{ k_{c1} k_1 \cdot [\alpha'(\delta_{n1}) \delta_{n1} + \alpha(\delta_{n1})] + \quad (25)$$

$$+ \frac{NZ \cdot k_{T1} \alpha_1(\delta_{n1}) k_1 \delta_{n1}}{\chi} + \frac{Q_3}{\chi} \} + y'(\delta_{n1}) [k_{c1} k_1 \alpha(\delta_{n1})] + y(S_{n1}) \times [k_{c1} k_1 \alpha'(\delta_{n1}) +$$

$$+ \frac{NZ \cdot k_{T1} \alpha_1(\delta_{n1}) k_1}{\chi} - \frac{Q_3}{\chi \delta_{n1}}] + v_1 [\alpha'(\delta_{n1}) k_1 k_{c1} + \frac{NZ \cdot k_{T1} \alpha_1(\delta_{n1}) k_1}{\chi}];$$

$$\begin{aligned}
y'''(-\delta_{n2}) = & \frac{NZfQ_3}{\chi} - A \cdot [k_{c1}NZ \cdot \beta'(-\delta_{n2}) + \frac{k_{T2}\beta_1(-\delta_{n2})}{\chi}] + \theta \times \\
& \times \left\{ k_{c1}k_2[\alpha(-\delta_{n2}) - \alpha'(-\delta_{n2}) \cdot \delta_{n2}] - \frac{NZ \cdot k_{T2}\alpha_1(-\delta_{n2})k_2\delta_{n2} + Q_3}{\chi} \right\} + \\
& + y'(-\delta_{n2}) \cdot k_{c1}k_2\alpha(-\delta_{n2}) + y(-\delta_{n2}) \left[k_{c1}k_2\alpha'(-\delta_{n2}) + \frac{NZ \cdot k_{T2}\alpha_1(-\delta_{n2})k_2}{\chi} - \right. \\
& \left. - \frac{Q_3}{\chi\delta_{n2}} \right] + B_2 \left[\alpha'(-\delta_{n2}) \cdot k_2k_{c1} + \frac{NZ \cdot k_{T2}\alpha_1(-\delta_{n2})k_2}{\chi} \right].
\end{aligned}$$

Дифференциальное уравнение упругой оси болта, описывающее взаимодействие болта и соединяемых элементов односрезного соединения из разного материала, по всей длине болта будет иметь вид

$$Ly = (\chi y''')'' + \tilde{a}_2 y'' + \tilde{a}_1 y' + \tilde{a}_0 y = \hat{a}_0 A - (\tilde{a}_1 + \tilde{a}_0 x) \cdot \theta - \tilde{a}_0 \hat{a}, \quad (26)$$

$$\text{где } \tilde{a}_2 = \begin{cases} -[k_c k_1 \alpha(x) + Q_3], & x \in \tilde{A}_1, \\ -[k_c k_2 \alpha(x) + Q_3], & x \in \tilde{A}_2, \\ 0, & x \in (G \setminus \tilde{A}_1 \cup \tilde{A}_2), \quad \tilde{A}_1 \cap \tilde{A}_2 = 0; \end{cases}$$

$$\tilde{a}_1 = \begin{cases} -2k_c k_1 \alpha'(x) - k_1 k_{T1} NZ \alpha_1(x), & x \in \tilde{A}_1, \\ -2k_c k_2 \alpha'(x) - k_2 k_{T2} NZ \alpha_1(x), & x \in \tilde{A}_2, \\ 0, & x \in (G \setminus \tilde{A}_1 \cup \tilde{A}_2), \quad \tilde{A}_1 \cap \tilde{A}_2 = 0; \end{cases}$$

$$\tilde{a}_0 = \begin{cases} k_1 \alpha(x) - k_1 k_{T1} NZ \alpha_1'(x) - k_c k_1 \alpha''(x), & x \in \tilde{A}_1, \\ k_2 \alpha(x) - k_2 k_{T2} NZ \alpha_1'(x) - k_c k_2 \alpha''(x), & x \in \tilde{A}_2, \\ 0, & x \in (G \setminus \tilde{A}_1 \cup \tilde{A}_2), \quad \tilde{A}_1 \cap \tilde{A}_2 = 0; \end{cases}$$

$$\tilde{a}_0 = \begin{cases} [\beta(x) - k_c \beta''(x) - k_{T1} \beta_1'(x)] \cdot NZ, & x \in \tilde{A}_1, \\ [\beta(x) - k_c \beta''(x) - k_{T2} \beta_1'(x)] \cdot NZ, & x \in \tilde{A}_2, \\ 0, & x \in (G \setminus \tilde{A}_1 \cup \tilde{A}_2), \quad \tilde{A}_1 \cap \tilde{A}_2 = 0; \end{cases}$$

$$\hat{a} = \begin{cases} \hat{a}_1, & x \in \tilde{A}_1, \\ \hat{a}_2, & x \in \tilde{A}_2, \\ 0, & x \in (G \setminus \tilde{A}_1 \cup \tilde{A}_2), \quad \tilde{A}_1 \cup \tilde{A}_2 = 0; \end{cases}$$

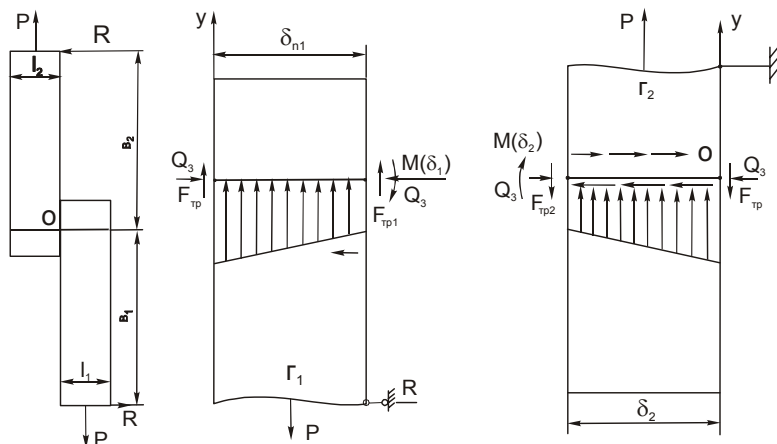


Рис. 4. Расчетная схема для определения const B_1 , B_2

Константы v_1, v_2, θ в уравнении (26) определяем из условия равновесия элементов 1 и 2 (рис. 4). Для элемента 1 сумма проекций сил на ось $OY \sum F_Y = 0$:

$$-\int_{\tilde{A}_1} k_1 V(x) \alpha(x) dx + NZ \int_{\tilde{A}_1} A \cdot \beta(x) dx = -(P + NZ \cdot F_{\dot{O}E1} - F_{\dot{O}E}) \quad (27)$$

После подстановки (1) в (27) получим

$$\hat{a}_1 = -\frac{\int_{\tilde{A}_1} k_1 \alpha(x) y dx}{\int_{\tilde{A}_1} k_1 \alpha(x) dx} - \theta \frac{\int_{\tilde{A}_1} k_1 \alpha(x) \lambda dx}{\int_{\tilde{A}_1} k_1 \alpha(x) dx} + NZ \frac{\int_{\tilde{A}_1} A \cdot \beta(x) dx}{\int_{\tilde{A}_1} k \alpha(x) dx} + \frac{P + NZ \cdot F_{\dot{O}E1} - F_{\dot{O}E}}{\int_{\tilde{A}_1} k_1 \alpha(x) dx} \quad (28)$$

Для элемента 2 использование уравнения $\sum F_Y = 0$ дало выражения, определяющие величину v_2 :

$$-\int_{\tilde{A}_2} k_2 V(x) \alpha(x) dx + NZ \int_{\tilde{A}_2} A \cdot \beta(x) dx = P - F_{\dot{O}E2} NZ - F_{\dot{O}E}, \quad (29)$$

$$\hat{a}_2 = -\frac{\int_{\tilde{A}_2} k_2 \alpha(x) y dx}{\int_{\tilde{A}_2} k_2 \alpha(x) dx} - \theta \frac{\int_{\tilde{A}_2} k_2 \alpha(x) x dx}{\int_{\tilde{A}_2} k_2 \alpha(x) dx} + NZ \frac{\int_{\tilde{A}_2} A \cdot \beta(x) dx}{\int_{\tilde{A}_2} k_2 \alpha(x) dx} - \frac{P - NZ \cdot F_{\dot{O}E2} - F_{\dot{O}E}}{\int_{\tilde{A}_1} k_2 \alpha(x) dx} \quad (30)$$

Запишем уравнение суммы моментов для болта относительно точки $O \sum M_0 = 0$:

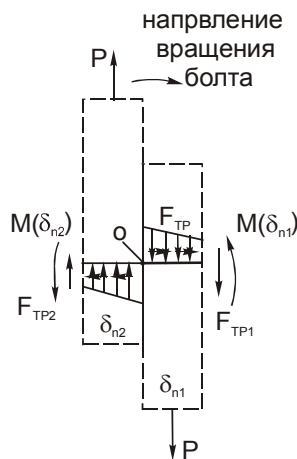


Рис. 5. Расчетная схема для определения $\text{const } \theta$

$$\int_{\tilde{A}_1} dM_{\tilde{A}} + \int_{\tilde{A}_2} dM_{\tilde{A}} + M(\delta_{n2}) + M = 0 \quad (31)$$

где $\int_{\tilde{A}_1} dM_{\tilde{A}}, \int_{\tilde{A}_2} dM_{\tilde{A}}$ - моменты, действующие на болт от погонных контактных сил;

$M(\delta_{n1}), M(\delta_{n2})$ - опорные моменты под гайкой и головкой болта; M - момент, действующий на болт из-за эксцентриситета при передаче нагрузки [9].

Подставив в (31) выражения для $\frac{dQ_{\tilde{A}}}{dx}$ и $\frac{dM_{\tilde{A}}}{dx}$ с учетом правила знаков, получим

$$\begin{aligned}
 & - \int_{\tilde{A}_1} k_1 \alpha(x) V x \cdot dx + \int_{\tilde{A}_1} NZ \cdot A \beta(x) x dx - \int_{\tilde{A}_1} k_1 \alpha_1(x) k_{T1} NZ \cdot V dx + \int_{\tilde{A}_1} \beta_1(x) A k_{T1} dx - \\
 & - \int_{\tilde{A}_1} Q_3 \theta dx + \int_{\tilde{A}_2} k_2 \alpha(x) V \cdot x dx - \int_{\tilde{A}_2} NZ A \beta(x) x dx + \int_{\tilde{A}_2} k_2 \alpha_1(x) k_{T2} NZ V dx - \\
 & - \int_{\tilde{A}_2} \beta_1(x) A k_{T2} dx - \int_{\tilde{A}_2} Q_3 \theta dx + F_{TP1} \delta_{n1} NZ + M(\delta_{n1}) - F_{TP2} \delta_{n2} NZ - M(\delta_{n2}) + M = 0. \quad (32)
 \end{aligned}$$

Учитывая формулу (1) и что $\tilde{A}_1 \in [0; \delta_{n1}]$ $\tilde{A}_2 \in [-\delta_{n2}; 0]$,

$$\begin{aligned}
 & - \int_0^{\delta_{n1}} k_1 \alpha(x) \theta x^2 dx - \int_0^{\delta_{n1}} k_1 \alpha(x) \hat{a}_1 x dx - \int_0^{\delta_{n1}} k_1 \alpha(x) y x dx + \int_0^{\delta_{n1}} NZ A \beta(x) x dx - \\
 & - \int_0^{\delta_{n1}} k_1 \alpha_1(x) k_{T1} NZ \theta x dx - \int_0^{\delta_{n1}} k_1 \alpha_1(x) \hat{a}_1 dx - \int_0^{\delta_{n1}} k_1 \alpha_1(x) k_{T1} NZ y dx + \\
 & + \int_0^{\delta_{n1}} \beta_1(x) A \cdot k_{T1} dx - \int_0^{\delta_{n1}} Q_3 \theta dx + \int_0^{-\delta_{n2}} k_2 \alpha(x) \cdot \theta x^2 dx + \int_0^{-\delta_{n2}} k_2 \alpha(x) \cdot \hat{a}_2 x dx + \\
 & + \int_0^{-\delta_{n2}} k_2 \alpha(x) y x dx - \int_0^{-\delta_{n2}} A \cdot \beta(x) NZ x dx + \int_0^{\delta_{n2}} k_2 \alpha_1(x) k_{T2} NZ \theta x dx + \\
 & + \int_0^{-\delta_{n2}} k_2 \alpha_1(x) k_{T2} NZ \hat{a}_2 dx + \int_0^{\delta_{n2}} k_2 \alpha_1(x) k_{T2} NZ y dx - \int_0^{\delta_{n2}} \beta_1 A k_{T2} dx - \int_0^{\delta_{n2}} Q_3 \theta dx + \\
 & + F_{TP1} \delta_{n1} NZ + M(\delta_{n1}) - F_{TP2} \delta_{n2} NZ - M(\delta_{n2}) + M = 0. \quad (33)
 \end{aligned}$$

После преобразований получим формулы для определения v_1, v_2, θ :

$$\begin{aligned}
 v_1 &= c_7 + c_8 - c_3 \theta; \\
 v_2 &= c_{11} + c_{12} - c_{13} \theta; \\
 \theta &= \theta_0 + \theta_y;
 \end{aligned} \quad (34)$$

$$\theta_0 = \frac{c_5 c_8 - c_{10} - c_{12} c_{51}}{1 + c_3 c_5 + c_{13} c_{51}}; \quad \theta_y = \frac{c_5 c_7 + c_9 + c_{91} - c_{15} - c_{11} c_{51}}{1 + c_3 c_5 + c_{19} c_{51}},$$

где

$$\begin{aligned}
 c_1 &= - \int_0^{\delta_{n1}} k_1 \alpha(x) x^2 dx - \int_0^{\delta_{n1}} k_1 \alpha_1(x) k_{T1} NZ x dx + \int_0^{-\delta_{n2}} k_2 \alpha(x) x^2 dx + \\
 & + \int_0^{\delta_{n2}} k_2 \alpha_1(x) k_{T2} NZ x dx - Q_3 (\delta_{n1} + \delta_{n2}) - \frac{1}{k_{11}} - \frac{1}{k_{11} + k_{22}}; \\
 c_5 &= \left[\int_0^{\delta_{n1}} k_1 \alpha(x) x dx + \int_0^{\delta_{n1}} k_1 \alpha_1(x) k_{T1} NZ dx \right] / c_1; \quad (35)
 \end{aligned}$$

$$c_{51} = \left[\int_0^{-\delta_{n2}} k_2 \alpha(x) x dx + \int_0^{-\delta_{n2}} k_2 \alpha_1(x) k_{T2} NZ dx \right] / \tilde{n}_1;$$

$$c = \int_0^{\delta_{n1}} k_1 \alpha(x) dx; \quad c_6 = \int_0^{-\delta_{n2}} k_2 \alpha(x) dx; \quad c_7 = -\frac{\int_0^{\delta_{n1}} k_1 y \alpha(x) dx}{c};$$

$$\tilde{n}_3 = \left(\int_0^{\delta_{n1}} k_1 \alpha(x) x dx \right) / c; \quad c_8 = [P - F_{TP} + NZ \int_0^{\delta_{n1}} A \cdot \beta(x) dx] / c;$$

$$c_{11} = -\left[\int_0^{-\delta_{n2}} k_2 \alpha(x) y dx \right] / \tilde{n}_6; \quad c_{12} = [NZ \int_0^{-\delta_{n2}} A \beta(x) dx - P + F_{TP} - F_{TP2} \cdot NZ] / c_6;$$

$$\tilde{n}_{13} = -\left[\int_0^{-\delta_{n2}} k_2 \alpha(x) x dx \right] / \tilde{n}_6; \quad c_9 = \left[\int_0^{\delta_{n1}} k_1 \alpha(x) y x dx + \int_0^{\delta_{n2}} k_1 \alpha_1(x) k_{T1} NZ y dx \right] / \tilde{n}_1;$$

$$c_{91} = \left[-\int_0^{-\delta_{n2}} k_2 \alpha(x) y x dx - \int_0^{-\delta_{n2}} k_2 \alpha_1(x) k_{T2} NZ y dx \right] / \tilde{n}_1;$$

$$c_{10} = \left[-M + \frac{F_{TP2} \cdot NZ k_c / \chi}{k_{11}} - \frac{F_{TP1} \cdot NZ k_c / \chi}{k_{11} + k_{22}} + F_{TP1} \delta_{n1} NZ - F_{TP2} \delta_{n2} NZ + \int_0^{\delta_{n1}} \beta_1(x) A k_{T1} dx + \right.$$

$$\left. + \int_0^{\delta_{n1}} A \cdot \beta(x) x NZ dx - \int_0^{-\delta_{n2}} A \cdot \beta(x) x NZ dx - \int_0^{-\delta_{n2}} \beta_1(x) A k_{T2} dx \right] / \tilde{n}_1;$$

$$\tilde{n}_{15} = -\frac{y'(-\delta_{n2})}{k_{11} \cdot c_1} - \frac{y'(\delta_{n1})}{(k_{11} + k_{22}) \cdot c_1};$$

Подставив в формулы (18) и (19) для граничных условий выражения (21), (22), (23), (25), (34), получим:

$$y'(\delta_{n1}), \quad y'(-\delta_{n2}), \quad Q_{\hat{A}}(\delta_{n1}), \quad Q_{\hat{A}}(-\delta_{n2}), \quad M_{\hat{A}}(\delta_{n1}), \quad M_{\hat{A}}(\delta_{n2}), \quad \theta, \hat{a}_1, \hat{a}_2;$$

$$\begin{aligned} \chi y''(\delta_{n1}) = & -\theta_0 \left[\frac{1}{k_{11} + k_{22}} - k_c \delta_{n1} \alpha(\delta_{n1}) \cdot k_1 \right] - \frac{y'(\delta_{n1})}{k_{11} + k_{22}} - \frac{NZ k_c Q_3 f}{k_{11} + k_{22}} + \\ & + k_c y(\delta_{n1}) \alpha(\delta_{n1}) k_1 + \alpha(\delta_{n1}) \cdot k_1 k_c (c_8 + c_3 \theta_0) + \alpha(\delta_{n1}) k_1 k_c (c_7 - c_3 \theta_y) - \\ & - A \cdot NZ \beta(\delta_{n1}) \cdot k_c - \theta_y \left[\frac{1}{k_{11} + k_{22}} - k_c \delta_{n1} \alpha(\delta_{n1}) \cdot k_1; \right. \end{aligned} \quad (36)$$

$$\begin{aligned} \chi y''(-\delta_{n2}) = & \theta_0 \left[\frac{1}{k_{11}} - k_c \delta_{n2} \alpha(-\delta_{n2}) \cdot k_2 \right] + \theta_y \left[\frac{1}{k_{11}} - \right. \\ & \left. - k_c \delta_{n2} \alpha(-\delta_{n2}) k_2 \right] + \frac{y'(-\delta_{n2})}{k_{11}} - \frac{NZ k_c f Q_3}{k_{11}} + k_c y(-\delta_{n2}) \cdot \alpha(-\delta_{n2}) k_2 + \alpha(-\delta_{n2}) \times \\ & \times k_c k_2 (c_{12} + c_{13} \theta) + \alpha(-\delta_{n2}) k_c k_2 (c_{11} + c_{13} \theta_y) - ANZ \beta(-\delta_{n2}) k_c; \end{aligned}$$

$$\begin{aligned}
\chi y'''(\delta_{n1}) = & NZQ_3 f - A[k_c NZ\beta'(\delta_{n1}) + k_{T1}\beta_1(\delta_{n1})] + \theta_0 \{k_c k_1 \times [\alpha'(\delta_{n1})\delta_{n1} + \alpha(\delta_{n1})] + \\
& + NZk_{T1}\alpha_1(\delta_{n1})k_1\delta_{n1} + Q_3\} + \theta_y \{k_c k_1 \times [\alpha'(\delta_{n1})\delta_{n1} + \alpha(\delta_{n1})] + NZk_{T1}\alpha_1(\delta_{n1})k_1\delta_{n1} + Q_3\} + \\
& + y'(\delta_{n1}) \times [k_c k_1 \alpha(\delta_{n1})] + y(\delta_{n1}) [k_c k_1 \alpha'(\delta_{n1}) + NZk_{T1}\alpha_1(\delta_{n1}) \cdot k_1 - \frac{Q_3}{\delta_{n1}}] + [\alpha'(\delta_{n1})k_1 k_c + \\
& + NZk_{T1}\alpha_1(\delta_{n1})k_1](c_8 - c_3\theta_0) + [\alpha'(\delta_{n1})k_1 k_c + NZk_{T1} \times \alpha_1(\delta_{n1})k_1] \cdot (c_7 - c_3\theta_y); \quad (37)
\end{aligned}$$

$$\begin{aligned}
\chi y'''(-\delta_{n2}) = & NZfQ_3 - A[k_c NZ\beta'(-\delta_{n2}) + k_{T2}\beta_1(-\delta_{n2})] + \theta_0 \{k_c k_2 [-\alpha'(-\delta_{n2})\delta_{n2} + \\
& + \alpha(-\delta_{n2})] - NZk_{T2}\alpha_1(-\delta_{n2})k_2\delta_{n2} + Q_3\} + \theta_y \{k_c k_2 [\alpha(-\delta_{n2}) - \alpha'(-\delta_{n2})\delta_{n2}] - \\
& - NZk_{T2}\alpha_1(-\delta_{n2})k_2\delta_{n2} + Q_3\} + y'(-\delta_{n2})k_c k_2 \alpha(-\delta_{n2}) + y(-\delta_{n2}) [k_c k_2 \alpha'(-\delta_{n2}) + \\
& + NZk_{T2}\alpha_1(-\delta_{n2})k_2 - \frac{Q_3}{\delta_{n2}}] + [\alpha'(-\delta_{n2})k_2 k_c + NZk_{T2}\alpha_1(-\delta_{n2})k_2](c_{12} + c_{13}\theta_0) + \\
& + [\alpha'(-\delta_{n2})k_2 k_c + NZk_{T2}\alpha_1(-\delta_{n2})k_2](c_{11} + c_{13}\theta_y)
\end{aligned}$$

Для решения поставленной краевой задачи об изгибе болта в односрезном соединении воспользуемся методом, предложенным в работах [7,8]. Запишем скалярное произведение в пространстве $L_2(\epsilon)$ функций, принимающих действительные значения. Под областью определения D_L оператора L понимаем функции, удовлетворяющие граничным условиям и имеющие необходимые непрерывные производные. Пусть $U, V \in D_L$. Тогда

$$\begin{aligned}
(L_{U,V}) = & \int_G L_U V dx = \int_G (\chi U''') V dx + \int_G \hat{a}_2 U'' V dx + \int_G \hat{a}_1 U' V dx - \int_G \hat{a}_0 U V dx = \int_G A \hat{a}_0 V dx - \\
& - \int_G (\hat{a}_1 + \hat{a}_0 x) \theta V dx - \int_G \hat{a} V dx; \quad G \in [-\delta_{n2}, \delta_{n1}]. \quad (38)
\end{aligned}$$

Подставим в (38) выражение (34) для θ_1, v_1 и v_2 :

$$\begin{aligned}
& \int_G (\chi U''') V dx + \int_G \hat{a}_2 U'' V dx + \int_G \hat{a}_1 U' V dx + \int_G \hat{a}_0 U V dx + \theta_y [\int_G \hat{a}_1 V dx + \int_G \hat{a}_0 x V dx] + \\
& + (c_7 - c_3\theta_y) \int_0^{\delta_{n1}} a_{o1} V dx + (c_{11} + c_{13}\theta_y) \int_{-\delta_{n2}}^0 a_{o2} V dx = \int_G A \hat{a}_0 V dx - \theta_0 \int_G \hat{a}_2 x V dx - \\
& - (c_8 - c_3\theta_0) \int_0^{\delta_{n1}} a_{o1} V dx - (c_{12} + c_{13}\theta_0) \int_{-\delta_{n2}}^0 a_{o2} V dx. \quad (39)
\end{aligned}$$

Согласно общей теории напряженно-деформированного состояния узлов, разработанной в работе [8], решение задачи об изгибе упругой оси болта в односрезном соединении сводится к задаче о построении элемента энергетического пространства, реализующего минимум соответствующего функционала. Ее решение согласно процессу Ритца ищем в виде линейной комбинации n координатных элементов с некоторыми численными коэффициентами a_i .

$$U_n = \sum_{i=1}^n a_i \eta_i \quad (40)$$

Коэффициенты находим, решая систему линейных алгебраических уравнений

$$\sum_{k=1}^n [\eta_k, \eta_i] \mathbf{a}_k = (f_c, \eta_i), \quad i = 1, \dots, n \quad (41)$$

Введем в уравнение (39) граничные условия (36) и (37). Для этого первый интеграл в выражении (38) возьмем по частям:

$$\int_{-\delta_{n2}}^{\delta_{n1}} (\chi U'')'' V dx = [\chi U''(\delta_{n1})]' V(\delta_{n1}) - [\chi U''(-\delta_{n2})]' V(-\delta_{n2}) - [\chi U''(\delta_{n1}) V'(\delta_{n1})] + \\ + [\chi U''(-\delta_{n2})] V(-\delta_{n2}) + \int_G \chi U'' V'' dx.$$

Тогда уравнение (39) примет вид

$$\begin{aligned} & \left\{ \theta_y \{k_c k_1 [\alpha'(\delta_{n1}) \delta_{n1} + \alpha(\delta_{n1})] + NZk_{T1} \alpha_1(\delta_{n1}) k_1 \delta_{n1} + Q_3\} + U'(\delta_{n1}) k_c k_1 \alpha(\delta_{n1}) + \right. \\ & + U(\delta_{n1}) [k_c k_1 \alpha'(\delta_{n1}) + NZk_{T1} \alpha_1(\delta_{n1}) k_1 - Q_3 / \delta_{n1}] + [\alpha'(\delta_{n1}) k_1 k_c + \\ & + NZk_{T1} \alpha_1(\delta_{n1}) k_1] (c_7 - c_3 \theta_y) \left. \right\} V(\delta_{n1}) - \left\{ \theta_y \{k_c k_2 [\alpha(-\delta_{n2}) - \alpha'(-\delta_{n2}) \delta_{n2}] - \right. \\ & - NZk_{T2} \alpha(-\delta_{n2}) k_2 \delta_{n2} + Q_3\} + U'(-\delta_{n2}) k_c k_2 \alpha(-\delta_{n2}) + U(-\delta_{n2}) [k_c k_2 \alpha'(-\delta_{n2}) + \\ & + NZk_{T2} \alpha(-\delta_{n2}) k_2 + \frac{Q_3}{\delta_{n2}}] + \alpha'(-\delta_{n2}) k_2 k_c + NZk_{T2} \alpha_1(-\delta_{n2}) k_2 (c_{11} + c_{13} \theta_y) \left. \right\} V(-\delta_{n2}) - \\ & \left\{ -\theta_y \left[\frac{1}{k_{11} + k_{22}} - k_c \delta_{n1} \alpha(\delta_{n1}) k_1 \right] - \frac{U'(\delta_{n1})}{k_{11} + k_{22}} + k_c U(\delta_{n1}) \alpha(\delta_{n1}) k_1 + \alpha(\delta_{n1}) k_1 k_c (c_7 - c_3 \theta_y) \right\} \\ & V'(\delta_{n1}) + \left\{ \theta_y \left[\frac{1}{k_{11}} - k_c \delta_{n2} \alpha(-\delta_{n2}) k_2 \right] + \frac{U'(-\delta_{n2})}{k_{11}} + k_c U(-\delta_{n2}) \alpha(-\delta_{n2}) k_2 + \right. \\ & \left. \alpha(-\delta_{n2}) k_c k_2 (c_{11} + c_{13} \theta_y) \right\} V'(-\delta_{n2}) + \int_{-\delta_{n2}}^{\delta_{n1}} \chi U'' V'' dx + \int_G \hat{a}_2 U'' V + \int_G \hat{a}_1 U' V dx + \\ & \int_G \hat{a}_0 U V dx + \theta_y \int_G \hat{a}_1 V dx + \theta_y \int_G \hat{a}_0 V x dx + (c_7 - c_3 \theta_y) \int_0^{\delta_{n1}} \hat{a}_{01} V dx + (c_{11} + c_{13} \theta_y) \\ & \int_0^{-\delta_{n2}} \hat{a}_2 V dx = -\left\{ \theta_0 \{k_c k_1 [\alpha'(\delta_{n1}) \delta_{n1} + \alpha(\delta_{n1})] + NZk_{T1} \alpha_1(\delta_{n1}) k_1 \delta_{n1} + Q_3\} + NZQ_3 f - \right. \\ & - A [k_c NZ \beta'(\delta_{n1}) + k_{T1} \beta_1(\delta_{n1}) + [\alpha'(\delta_{n1}) k_1 k_c + NZk_{T1} \alpha_1(\delta_{n1}) k_1] (c_8 - c_3 \theta_0)] \left. \right\} V(\delta_{n1}) + \\ & + \left\{ \theta_0 \{k_c k_2 [-\alpha'(-\delta_{n2}) \delta_{n2} + \alpha(-\delta_{n2})] - NZk_{T2} \alpha_1(-\delta_{n2}) k_2 \delta_{n2} + Q_3\} + NZQ_3 f - \right. \\ & - A [k_c NZ \beta'(-\delta_{n2}) + k_{T2} \beta_2(-\delta_{n2})] + [\alpha'(-\delta_{n2}) k_2 k_c + NZk_{T2} \alpha_1(-\delta_{n2}) k_2] (c_{12} + c_{13} \theta_0) \left. \right\} \\ & V(-\delta_{n2}) + \left\{ -\theta_0 \left[\frac{1}{k_{11} + k_{22}} - k_c \delta_{n1} \alpha(\delta_{n1}) k_1 \right] - \frac{NZk_c Q_3 f}{k_{11} + k_{22}} + \alpha(\delta_{n1}) k_1 k_c (c_8 - c_3 \theta_0) - \right. \\ & - ANZ \beta(\delta_{n1}) k_c \left. \right\} V'(\delta_{n1}) - \left\{ \theta_0 \left[\frac{1}{k_{11}} - k_c \delta_{n2} \alpha(-\delta_{n2}) k_2 \right] - \frac{NZk_c Q_3 f}{k_{11}} + \alpha(-\delta_{n2}) k_c k_2 (c_{12} + c_{13} \theta_0) - \right. \\ & - ANZ \beta(-\delta_{n2}) k_c \left. \right\} V'(-\delta_{n2}) + \int_G \hat{b}_0 A V dx - \theta_0 \int_G \hat{a}_1 V dx - \theta_0 \int_G \hat{a}_0 x V dx - \\ & - (c_8 - c_3 \theta_0) \int_0^{\delta_{n1}} \hat{a}_{01} V dx - (c_{12} + c_{13} \theta_0) \int_{-\delta_{n2}}^0 \hat{a}_{02} V dx \quad (42) \end{aligned}$$

Тогда значения коэффициентов системы алгебраических уравнений (41) можно вычислить по формуле

$$\begin{aligned}
[\eta_k, \eta_i] = & \left\{ \theta_y(\eta_k) \left[k_c k_1 [\alpha'(\delta_{n1}) \delta_{n1} + \alpha(\delta_{n1})] + NZk_{T1} \alpha_1(\delta_{n1}) k_1 \delta_{n1} + Q_3 \right] + \right. \\
& + \eta_k'(\delta_{n1}) k_c k_1 \alpha(\delta_{n1}) + \eta_k(\delta_{n1}) [k_c k_1 \alpha'(\delta_{n1}) + NZk_{T1} \alpha_1(\delta_{n1}) k_1 - \frac{Q_3}{\delta_{n1}}] + \\
& + [\alpha'(\delta_{n1}) k_1 k_c + NZk_{T1} \alpha_1(\delta_{n1}) k_1] [c_7(\eta_k) - c_3 \theta_y(\eta_k)] \eta_i(\delta_{n1}) - \\
& - \left\{ \theta_y(\eta_k) \left[k_c k_2 [\alpha(-\delta_{n2}) - \alpha'(-\delta_{n2}) \delta_{n2}] - NZk_{T2} \alpha(-\delta_{n2}) k_1 \delta_{n2} + Q_3 \right] + \right. \\
& + \eta_k'(-\delta_{n2}) k_c k_1 \alpha(\delta_{n1}) + \eta_k(-\delta_{n2}) [k_c k_2 \alpha'(-\delta_{n2}) + NZk_{T2} \alpha(-\delta_{n2}) k_2 + \\
& + \frac{Q_3}{\delta_{n2}}] + [\alpha'(-\delta_{n2}) k_2 k_c + NZk_{T2} \alpha_1(-\delta_{n2}) k_2] (c_{11}(\eta_k) + c_{13} \theta_y(\eta_k)) \eta_i(-\delta_{n2}) - \\
& - \left\{ \theta_y(\eta_k) \left[\frac{1}{k_{11} + k_{22}} - k_c \delta_{n1} \alpha(\delta_{n1}) k_1 \right] - \frac{\eta_k'(\delta_{n1})}{k_{11} + k_{22}} + k_c \eta_k(\delta_{n1}) \alpha(\delta_{n1}) k_1 + \right. \\
& + \alpha(\delta_{n1}) k_1 k_c [c_7(\eta_k) - c_3 \theta_y(\eta_k)] \eta_i'(\delta_{n1}) + \left. \theta_y(\eta_k) \left[\frac{1}{k_{11}} - k_c \delta_{n2} \alpha(-\delta_{n2}) k_2 \right] + \right. \\
& + \frac{\eta_k'(-\delta_{n2})}{k_{11}} + k_c k_2 \alpha(-\delta_{n2}) \eta_k(-\delta_{n2}) + \alpha(-\delta_{n2}) k_c k_2 [c_{11}(\eta_k) + \\
& c_{13} \theta_y(\eta_k)] \eta_i'(-\delta_{n2}) + \int_{-\delta_{n2}}^{\delta_{n1}} \chi \eta_k'' \eta_i'' dx + \int_G \hat{a}_2 \eta_k'' \eta_i + \int_G \hat{a}_1 \eta_k' \eta_i dx + \int_G \hat{a}_0 \eta_k \eta_i dx + \\
& + \theta_y(\eta_k) \int_G \hat{a}_1 \eta_i dx + \theta_y(\eta_k) \int_G \hat{a}_0 \eta_i x dx + [c_7(\eta_k) - c_3 \theta_y(\eta_k)] \int_0^{\delta_{n1}} \hat{a}_{01} \eta_i dx + [c_{11}(\eta_k) + \\
& + c_{13} \theta_y(\eta_k)] \int_{-\delta_{n2}}^0 \hat{a}_2 \eta_i dx. \tag{43}
\end{aligned}$$

Правые части уравнений (41) определяются выражением

$$\begin{aligned}
(f_c, \eta_i) = & - \left\{ \theta_0 \left[k_c k_1 [\alpha'(\delta_{n1}) \delta_{n1} + \alpha(\delta_{n1})] + NZk_{T1} \alpha_1(\delta_{n1}) k_1 \delta_{n1} + \right. \right. \\
& + Q_3 \left. \right\} + NZQ_3 f - A [k_c NZ \beta'(\delta_{n1}) + k_{T1} \beta_1(\delta_{n1})] + [\alpha'(\delta_{n1}) k_1 k_c + \\
& + NZk_{T1} \alpha_1(\delta_{n1}) k_1] (c_8 - c_3 \theta) \eta_i(\delta_{n1}) + \left\{ \theta_0 \left[k_c k_2 [-\alpha'(-\delta_{n2}) \delta_{n2} + \alpha(-\delta_{n2})] - \right. \right. \\
& - NZk_{T2} k_2 \delta_{n2} \alpha_1(-\delta_{n2}) + Q_3 \left. \right\} + NZQ_3 f - A [k_c NZ \beta'(-\delta_{n2}) + k_{T2} \beta_2(-\delta_{n2})] + \\
& + [\alpha'(-\delta_{n2}) k_2 k_c + NZk_{T2} k_2 \alpha_1(-\delta_{n2})] (c_{12} + c_{13} \theta_0) \eta_i(-\delta_{n2}) + \\
& + \left\{ -\theta_0 \left[\frac{1}{k_{11} + k_{22}} - k_c \delta_{n1} \alpha(\delta_{n1}) k_1 \right] - \frac{NZk_c Q_3 f}{k_{11} + k_{22}} + \alpha(\delta_{n1}) k_1 k_c (c_8 - c_3 \theta_0) - \right. \\
& - ANZ \beta(\delta_{n1}) k_c \left. \right\} \eta_i'(\delta_{n1}) - \left\{ \theta_0 \left[\frac{1}{k_{11}} - k_c \delta_{n2} \alpha(-\delta_{n2}) k_2 \right] - \frac{NZk_c Q_3 f}{k_{11}} + \right. \\
& \left. \alpha(-\delta_{n2}) k_c k_2 (c_{12} + c_{13} \theta_0) - ANZ \beta(-\delta_{n2}) k_c \right\} \eta_i'(-\delta_{n2}) + \int_G \hat{B}_0 A \eta_i dx - \\
& - \theta_0 \int_G \hat{a}_1 \eta_i dx - \theta_0 \int_G \hat{a}_0 x \eta_i dx - (c_8 - c_3 \theta_0) \int_0^{\delta_{n1}} \hat{a}_{01} \eta_i dx - (c_{12} + c_{13} \theta_0) \int_{-\delta_{n2}}^0 \hat{a}_{02} \eta_i dx. \tag{44}
\end{aligned}$$

Последовательность координатных функций $\eta_1, \eta_2, \dots, \eta_n$ (40) должна удовлетворять следующим условиям: все ее элементы должны принадлежать пространству H_L , удовлетворять граничному условию $y|_{x=0} = 0$; при любом l элементы $\eta_1, \eta_2, \dots, \eta_n$ линейно независимы. Последовательность $\sin \frac{\pi x}{l}, \sin \frac{2\pi x}{l}, \dots, \sin \frac{n\pi x}{l}$ удовлетворяет этому условию.

Поставленная задача об определении погонных нагрузок на болт в односрезном соединении с радиальным натягом решается методом итераций, т. к. зона контакта болта со стенкой отверстия в пластинах может изменяться по длине болта в зависимости от величины нагрузки, передаваемой болтом.

Предлагается следующий итерационный алгоритм решения краевой задачи.

1. Формируем исходные данные к задаче.
2. Задаем контактные условия (12) болта со стенкой отверстия, характерные при установке болта без радиального натяга:

$$\varphi_{10} = \frac{\pi}{2}; \alpha = 1 + \frac{2f}{\pi}; \beta = 1 + f; \alpha_1 = \frac{1}{2}; \beta_1 = \frac{1}{2}.$$

3. Определяем постоянные (35) C_1, C_2, \dots, C_{15} .
4. Формируем и решаем систему уравнений (41).
5. Определяем условия контакта в первом приближении $\varphi_{11} = f(V_1)$.

По формулам (12) рассчитываем.

6. Повторяем вычисления, начиная с пункта 3. В последующих приближениях полагаем

$$\varphi_{1,n+1}(x) = (1 - \chi)\varphi_{1,n}(x) + \chi\varphi(V_n(x)), \quad (45)$$

где $0 < \chi \leq 1$ – параметр, обеспечивающий и регулирующий сходность итерационного процесса.

Вычислительный процесс повторяем, пока не выполнится условие

$$\frac{|\varphi_{1,n+1}(x) - \varphi_{1,n}(x)|_{x=0}}{\varphi_{1,n}(x)} < \varepsilon \quad (46)$$

6. Определяем погонные контактные нагрузки, действующие на болт $P_l(x)$. Коэффициенты неравномерности погонных нормальных контактных нагрузок по оси болта определим по формуле

$$k_{\theta i} = \frac{P_i(x)\delta_{ni}}{P}, \quad (47)$$

где l – номер соединяемой пластины.

Коэффициенты неравномерности контактных давлений под головкой болта и гайкой:

$$V_{\Gamma} = \frac{\sigma_{3 \text{ неравн}} + \sigma_{\text{к изг}}}{\sigma_{3 \text{ равн}}}; \quad (48)$$

$$V_{\Gamma 6} = 1 + \frac{\sigma_{\text{к изг}}}{\sigma_{3 \text{ равн}}},$$

где $\sigma_{\text{к изг}}$ – контактные напряжения при изгибе болта, возникающие под головкой болта и гайкой;

$\sigma_{3 \text{ неравн}}$ – напряжения под гайкой, возникающие при затяжке болта;

$\sigma_{3 \text{ равн}}$ – условно равномерно распределенные напряжения, возникающие под гайкой или головкой болта, возникающие при его затяжке.

По предложенному алгоритму составлена программа расчета на ЭВМ величины контактных давлений и погонных контактных нагрузок между болтом и пластинами односрезного соединения. В качестве примера применения предложенного метода определения влияния конструктивно–технологических параметров односрезного болтового соединения на распределение контактных давлений в зоне сопряжения его элементов рассмотрено соединение, выполненное из титанового сплава ВТ6.

На рис. 4 – 9 показано влияние радиального натяга на коэффициенты неравномерности погонной нормальной контактной нагрузки по длине болта в односрезных соединениях из титанового сплава ВТ6.

На рис. 6 – 18 показаны результаты расчета коэффициента $K_{\theta 1}$, а на рис. 20 – 23 - v_e , v_{e6} в зависимости от силы затяжки болта, отношения геометрических параметров δ_n/d и δ_{n1}/δ_{n2} . Графики зависимостей, изображенные на рис. 6 и 7, позволяют оценить влияние усилия затяжки болта на неравномерность погонной контактной нагрузки по длине болта. При увеличении усилия осевой затяжки от $Q_3=0$ до $Q_3=25$ Кн величина коэффициента $K_{\theta 1}$ уменьшается почти в 4 раза. Это объясняется уменьшением нагрузки, передаваемой болтом, равной $P_6 = P - F_{\text{ТР}}$. Если в формуле (47) в знаменатель подставить P_6 , то величина усилия практически не будет влиять на $K_{\theta 1}$, но величина нормальной погонной контактной нагрузки будет уменьшаться с увеличением усилия затяжки болта, как это и представлено на рис. 6, 7. На рис. 8, 9 показано влияние отношения толщины соединяемых пластин к диаметру болта на коэффициенты неравномерности нормальной погонной контактной нагрузки по длине болта. Значения величин усилия затяжки болтов взяты равными $Q_3=0$ или в соответствии с рекомендуемыми ОСТ1 00017 - 77 для данного диаметра болта. При изменении величины δ_n/d от 0,5 до 3 $K_{\theta 1}$ увеличиваются в пределах от 1,0 до 3,8 для болтов из стали 30 ХГСА, т. е. в 2,6 – 2,8 раза для каждого из рассмотренных диаметров болтов. Для болтов из титанового сплава ВТ6 $K_{\theta 1}$ увеличивается в диапазоне от 1,2 до 4,2, т. е. в 3,3 раза для каждого из рассматриваемых диаметров болтов $d=6; 8; 10$ мм. Влияние соотношения толщин соединяемых пластин на величину коэффициента $K_{\theta 1}$ показано на рис. 10 – 18.

Для соединений из сплава ВТ6 с болтом из титанового сплава ВТ6 возрастание δ_{n1}/δ_{n2} от 1 до 4 для болтов $d=10; 8; 6$ мм приводит к увеличению значений $K_{\theta 1}$ от 1,1 ...1,7 до 4,8 ...6,9 (рис. 10 – 12). Если оставлять неизменной толщину первой пластины $\delta_{n1}=16$ мм и уменьшать толщину второй, то $K_{\theta 1}$ достигает максимального значения $K_{\theta 1}=4$ при $\delta_{n1}/\delta_{n2}=2,5$. Величина $K_{\theta 2} \rightarrow 1$. Для

соединений из сплава ВТ6 с болтом из стали 30ХГСА при фиксированной толщине второй пластины $\delta_{n2} = 5$ мм увеличение толщины первой пластины в 4 раза для диаметров болтов $d = 10; 8; 6$ мм вызывает увеличение $k_{\theta 1}$ от 1,1 ... 1,5 до 4,0...5,7 (рис.14 – 16). Значение коэффициента $k_{\theta 2}$ практически не изменяется.

Влияние усилия затяжки болта на коэффициенты неравномерности контактных давлений под гайкой и головкой болта показано на рис. 17, 18. Рассмотрено два варианта соединений. В первом варианте $\delta_{n2} = 4$ мм, $\delta_{n1} = 4; 8; 12; 16$ мм, во втором - $\delta_{n1} = 16$ мм, $\delta_{n2} = 4; 8; 12; 16$ мм. Видно, что с увеличением усилия затяжки от 0 до 25 кН, которое соответствует значению усилия затяжки для болтов $d = 8$ мм, в соответствии с ОСТ1 00017 – 77, $v_{Г} - 1,5; v_{Г6} - 1,2$ при значении внешней нагрузки $P = 10$ кН (см. рис.17). Увеличение внешней нагрузки в 3 раза до $P = 30$ кН дало значения коэффициентов неравномерности под гайкой и головкой болта $v_{Г6} = 1,5 - 2,5, v_{Г} = 1 - 1,9$ при $Q_3 = 25$ кН. Применение усилий затяжки болтов меньшей величины или ослабление ее в процессе эксплуатации соединения может привести к значительному увеличению коэффициентов неравномерности контактных давлений под гайкой и головкой болта.

На рис. 19 – 22 показано влияние отношения δ_n / d и диаметра болта на коэффициенты неравномерности контактных давлений и максимальные контактные давления под гайкой и головкой болта в односрезном соединении из титанового сплава ВТ6. Увеличение отношения δ_n / d от 0,5 до 2,5 вызывает незначительное уменьшение $v_{Г}$ и $v_{Г6}$ на 5...10%. Изменение отношения $\delta_{n1} / \delta_{n2}$ от 1 до 8 почти не повлияло на величину v_{θ} и $v_{\theta 6}$ (рис. 23).

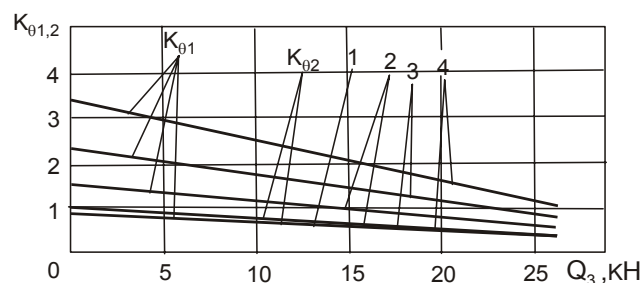


Рис. 6. Влияние усилия затяжки на коэффициенты неравномерности нормальной погонной контактной нагрузки по длине болта в односрезном соединении $\delta_{n1} \geq \delta_{n2} = 4$ мм:

1 - $\delta_{n1} = 4$ мм; 2 - $\delta_{n1} = 8$ мм;
3 - $\delta_{n1} = 12$ мм; 4 - $\delta_{n1} = 16$ мм; $P = 10$ кН;
 $f_{1,2} = 0,25; \gamma_{1,2} = 13,5 \frac{\text{кН}}{\text{мм}^3}; E_1 = 210$ ГПа;

$E_{21} = E_{22} = 120$ ГПа; $\delta_{n2} = 4$ мм; $\bar{\Psi} = 0$;
 $d = 8$ мм

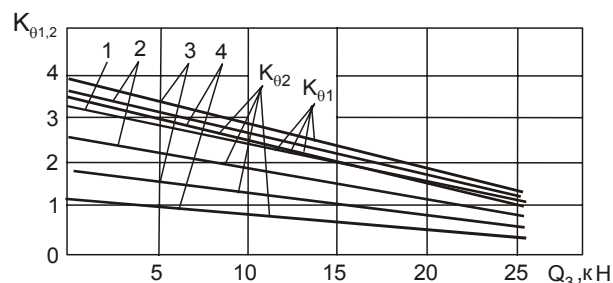


Рис. 7. Влияние усилия затяжки на коэффициенты неравномерности нормальной погонной контактной нагрузки по длине болта в односрезном соединении $\delta_{n2} \leq \delta_{n1} = 16$ мм:

1 - $\delta_{n2} = 16$ мм; 2 - $\delta_{n2} = 12$ мм;
3 - $\delta_{n2} = 8$ мм; 4 - $\delta_{n2} = 4$ мм; $P = 10$ кН;
 $f_{1,2} = 0,25; \gamma_{1,2} = 13,5 \frac{\text{кН}}{\text{мм}^3}; E_1 = 210$ ГПа;

$E_{21} = E_{22} = 120$ ГПа; $\delta_{n1} = 16$ мм; $\bar{\Psi} = 0$;
 $d = 8$ мм

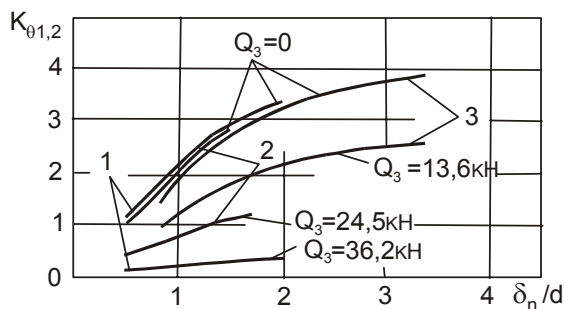


Рис. 8. Влияние отношения δ_n/d на коэффициенты неравномерности нормальной погонной контактной нагрузки по длине болта в односрезном соединении с болтом из стали

30 XGCA:

1 – $d = 10$ мм; 2 – $d = 8$ мм;

3 – $d = 6$ мм; $P = 10$ кН; $f_{1,2} = 0,25$;

$\gamma_{1,2} = 13,5 \frac{\text{кН}}{\text{мм}^3}$; $E_1 = 210$ ГПа; $E_{21} = E_{22} =$

$= 120$ ГПа; $\bar{\psi} = 0$;

$\delta_{n1} = \delta_{n2} = \delta_n$; $K_{Q1} = K_{Q2}$; $M_{01} = M_{02}$

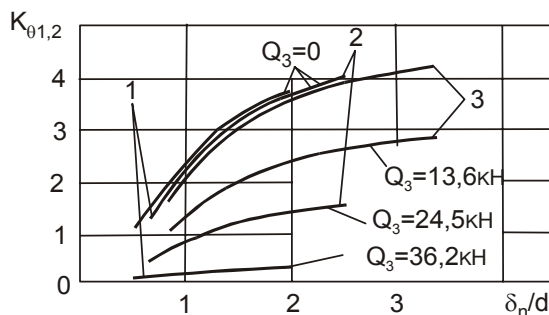


Рис. 9. Влияние отношения δ_n/d на коэффициенты неравномерности нормальной погонной контактной нагрузки по длине болта в односрезном соединении с болтом из титанового сплава VT16:

1 – $d = 10$ мм; 2 – $d = 8$ мм;

3 – $d = 6$ мм; $P = 10$ кН; $f_{1,2} = 0,25$;

$\gamma_{1,2} = 13,5 \frac{\text{кН}}{\text{мм}^3}$; $E_1 = 115$ ГПа;

$E_{21} = E_{22} = 120$ ГПа; $\delta_{n1} = \delta_{n2} = \delta_n$;

$K_{Q1} = K_{Q2}$; $M_{01} = M_{02}$; $\bar{\psi} = 0$

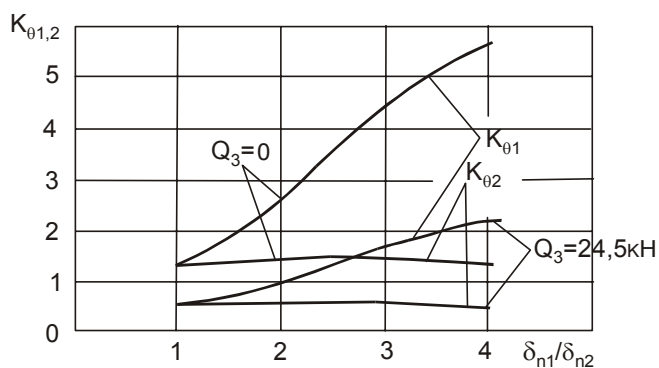


Рис. 10. Влияние отношения δ_{n1}/δ_{n2} на коэффициенты неравномерности нормальной погонной контактной нагрузки по длине болта в односрезном соединении с болтом из титанового сплава VT 16 диаметром 8 мм:

$P = 10$ кН; $f_{1,2} = 0,25$; $\gamma_{1,2} = 13,5 \frac{\text{кН}}{\text{мм}^3}$;

$E_1 = 115$ ГПа; $E_{21} = E_{22} = 120$ ГПа; $\delta_{n2} = 5$ мм;

$\bar{\psi} = 0$; $d = 8$ мм

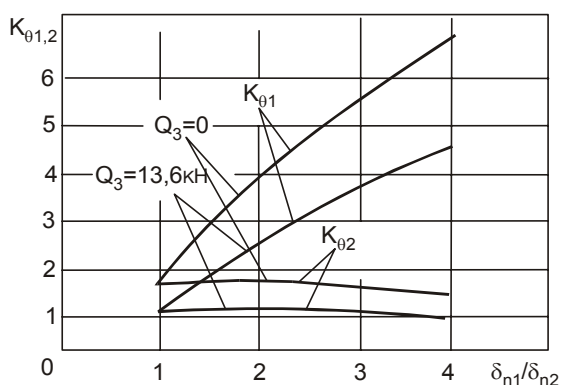


Рис. 11. Влияние отношения δ_{n1}/δ_{n2} на коэффициенты неравномерности нормальной погонной контактной нагрузки по длине болта в односрезном соединении с болтом из титанового сплава VT 16 диаметром 6 мм:

$P = 10$ кН; $f_{1,2} = 0,25$; $\gamma_{1,2} = 13,5 \frac{\text{кН}}{\text{мм}^3}$;

$E_1 = 115$ ГПа; $E_{21} = E_{22} = 120$ ГПа;

$\delta_{n2} = 5$ мм; $\bar{\psi} = 0$; $d = 6$ мм

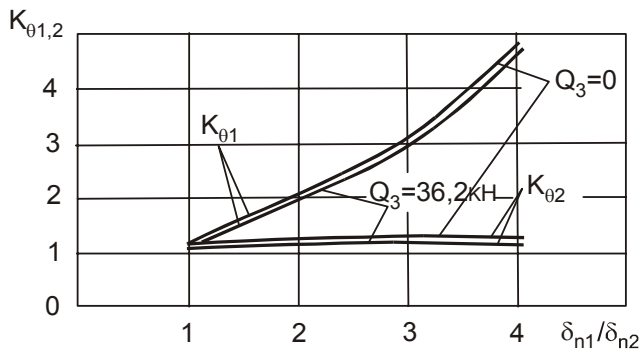


Рис. 12. Влияние отношения δ_{n1}/δ_{n2} на коэффициенты неравномерности нормальной погонной контактной нагрузки по длине болта в односрезном соединении с болтом из титанового сплава BT16 диаметром 10 мм:

$$P=10 \text{ кН}; f_{1,2} = 0,25; \gamma_{1,2} = 13,5 \frac{\text{кН}}{\text{мм}^3};$$

$$E_1=115 \text{ ГПа}; E_{21}=E_{22}=120 \text{ ГПа};$$

$$\delta_{n2}= 5 \text{ мм}; \bar{\Psi} = 0; d = 10 \text{ мм}$$

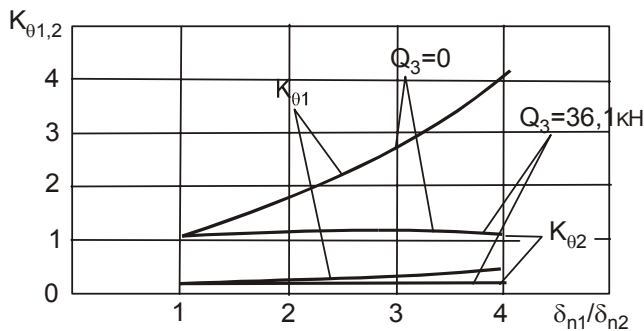


Рис. 14. Влияние отношения δ_{n1}/δ_{n2} на коэффициенты неравномерности нормальной погонной контактной нагрузки по длине болта в односрезном соединении с болтом из стали 30XГСА диаметром 10 мм:

$$P=10 \text{ кН}; f_{1,2} = 0,25;$$

$$\gamma_{1,2} = 13,5 \frac{\text{кН}}{\text{мм}^3}; E_1=210 \text{ ГПа}; E_{21}=E_{22}=$$

$$=120 \text{ ГПа}; \delta_{n2} = 5 \text{ мм}; \bar{\Psi} = 0; d = 10 \text{ мм}$$

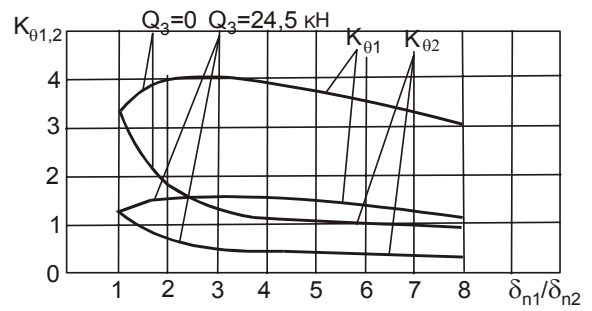


Рис. 13. Влияние отношения δ_{n1}/δ_{n2} на коэффициенты неравномерности нормальной погонной контактной нагрузки по длине болта в односрезном соединении с болтом из стали 30XГСА диаметром 8 мм:

$$P=10 \text{ кН}; f_{1,2} = 0,25; \gamma_{1,2} = 13,5 \frac{\text{кН}}{\text{мм}^3};$$

$$E_1=210 \text{ ГПа}; E_{21}=E_{22}=120 \text{ ГПа};$$

$$\delta_{n1} = 16 \text{ мм}; \bar{\Psi} = 0; d = 8 \text{ мм}$$

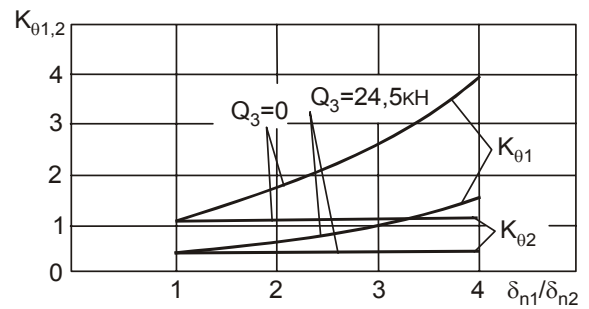


Рис. 15. Влияние отношения δ_{n1}/δ_{n2} на коэффициенты неравномерности нормальной погонной контактной нагрузки по длине болта в односрезном соединении с болтом из стали 30XГСА диаметром 8 мм:

$$P=10 \text{ кН}; f_{1,2} = 0,25; \gamma_{1,2} = 13,5 \frac{\text{кН}}{\text{мм}^3};$$

$$E_1=210 \text{ ГПа}; E_{21}=E_{22}=120 \text{ ГПа};$$

$$\delta_{n2} = 4 \text{ мм}; \bar{\Psi} = 0; d = 8 \text{ мм}$$

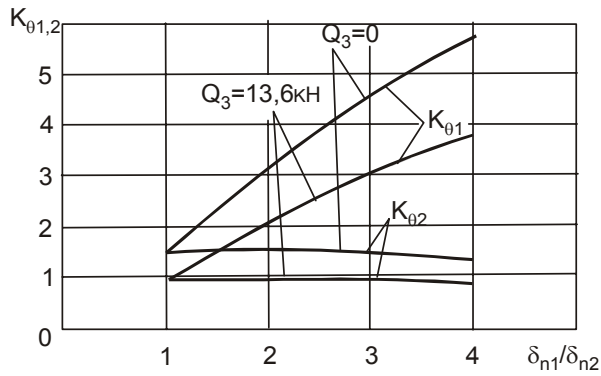
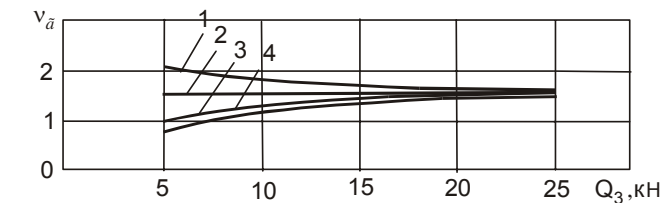


Рис. 16. Влияние отношения δ_{n1}/δ_{n2} на опорные моменты и коэффициенты неравномерности нормальной погонной контактной нагрузки по длине болта в односрезном соединении с болтом из стали 30ХГСА диаметром 6 мм:

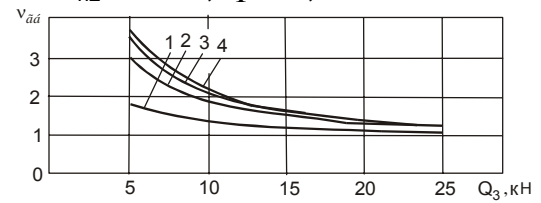
$$P=10 \text{ кН}; f_{1,2} = 0,25; \gamma_{1,2} = 13,5 \frac{\text{кН}}{\text{мм}^3};$$

$$E_1=210 \text{ ГПа}; E_{21}=E_{22}=120 \text{ ГПа};$$

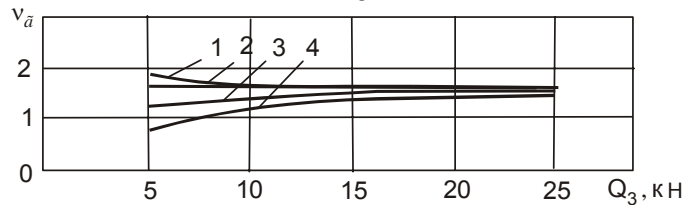
$$\delta_{n2} = 5 \text{ мм}; \bar{\psi} = 0; d = 6 \text{ мм}$$



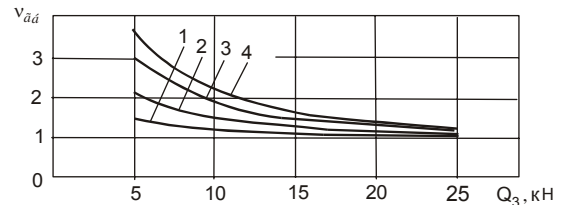
а



б



в



г

Рис. 17. Влияние усилия затяжки на коэффициенты неравномерности контактных давлений под гайкой и головкой болта:

а, б – $\delta_{n2}=4 \text{ мм}$; 1 – $\delta_{n1}=4 \text{ мм}$; 2 – $\delta_{n1}=8 \text{ мм}$; 3 – $\delta_{n1}=12 \text{ мм}$; 4 – $\delta_{n1}=16 \text{ мм}$;

в, г – $\delta_{n1}=16 \text{ мм}$; 1 – $\delta_{n2}=16 \text{ мм}$; 2 – $\delta_{n2}=12 \text{ мм}$; 3 – $\delta_{n2}=8 \text{ мм}$; 4 – $\delta_{n2}=4 \text{ мм}$; $P=10 \text{ кН}$;

$f_{1,2} = 0,25$; $\gamma_{1,2} = 13,5 \frac{\text{кН}}{\text{мм}^3}$; $E_1=210 \text{ ГПа}$; $E_{21}=E_{22}=120 \text{ ГПа}$; $\bar{\psi} = 0$; $d = 8 \text{ мм}$

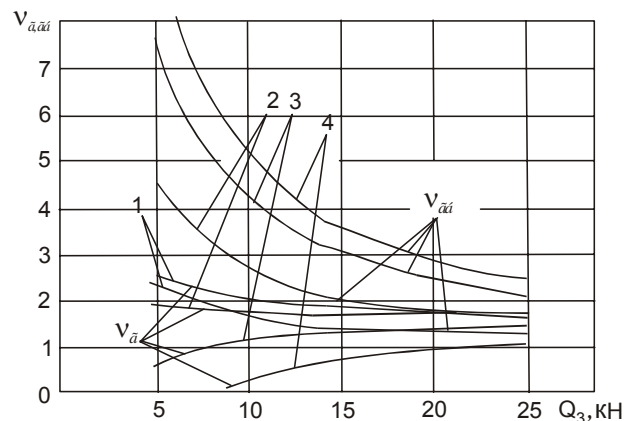
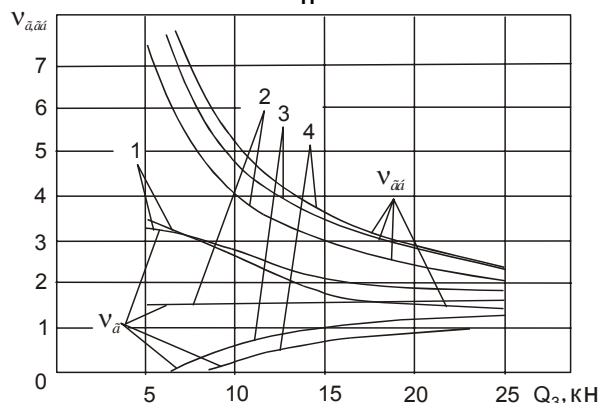


Рис. 18. Влияние усилия затяжки на коэффициенты неравномерности контактных давлений под гайкой и головкой болта:

а – $\delta_{n2}=4 \text{ мм}$; 1 – $\delta_{n1}=4 \text{ мм}$; 2 – $\delta_{n1}=8 \text{ мм}$; 3 – $\delta_{n1}=12 \text{ мм}$; 4 – $\delta_{n1}=16 \text{ мм}$;

б – $\delta_{n1}=16 \text{ мм}$; 1 – $\delta_{n2}=16 \text{ мм}$; 2 – $\delta_{n2}=12 \text{ мм}$; 3 – $\delta_{n2}=8 \text{ мм}$; 4 – $\delta_{n2}=4 \text{ мм}$; $P=30 \text{ кН}$;

$f_{1,2} = 0,25$; $\gamma_{1,2} = 13,5 \frac{\text{кН}}{\text{мм}^3}$; $E_1=210 \text{ ГПа}$; $E_{21}=E_{22}=120 \text{ ГПа}$; $\bar{\psi} = 0$; $d = 8 \text{ мм}$

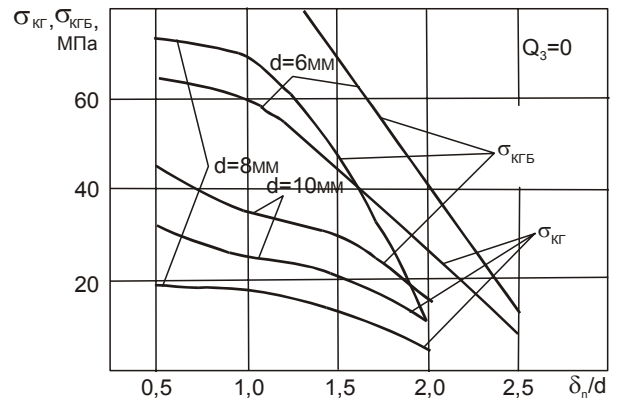
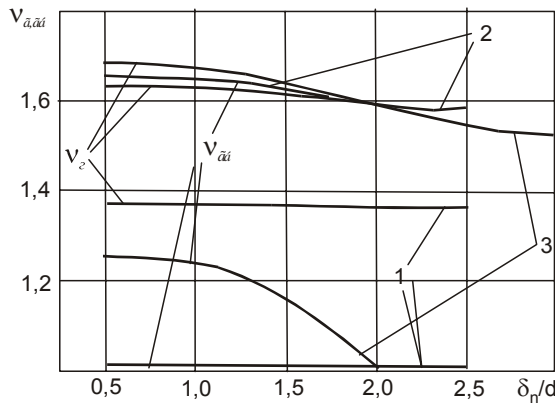


Рис. 19. Влияние отношения δ_n/d на коэффициенты неравномерности контактных давлений и максимальные контактные давления под гайкой и головкой болта в односрезном болтовом соединении с болтом из стали 30ХГСА:

1 – $d = 10$ мм; $Q_3 = 36,2$ кН; 2 – $d = 8$ мм; $Q_3 = 24,5$ кН; 3 – $d = 6$ мм; $Q_3 = 13,6$ кН;
 $P = 10$ кН; $f_{1,2} = 0,25$; $\gamma_{1,2} = 13,5 \frac{\text{кН}}{\text{мм}^3}$; $E_1 = 210$ ГПа; $E_{21} = E_{22} = 120$ ГПа; $\delta_{n1} = \delta_{n2} = \delta_n$

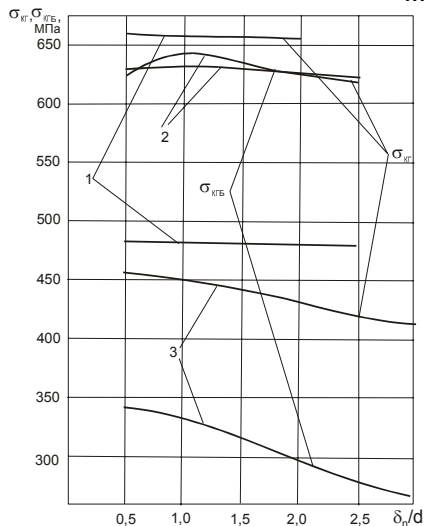


Рис. 20. Влияние отношения δ_n/d на максимальные контактные давления под гайкой и головкой болта в односрезном болтовом соединении с болтом из стали 30ХГСА:

1 – $d = 10$ мм; $Q_3 = 36,2$ кН; 2 – $d = 8$ мм; $Q_3 = 24,5$ кН; 3 – $d = 6$ мм; $Q_3 = 13,6$ кН;
 $P = 10$ кН; $f_{1,2} = 0,25$; $\gamma_{1,2} = 13,5 \frac{\text{кН}}{\text{мм}^3}$;
 $E_1 = 210$ ГПа; $E_{21} = E_{22} = 120$ ГПа;
 $\delta_{n1} = \delta_{n2} = \delta_n$

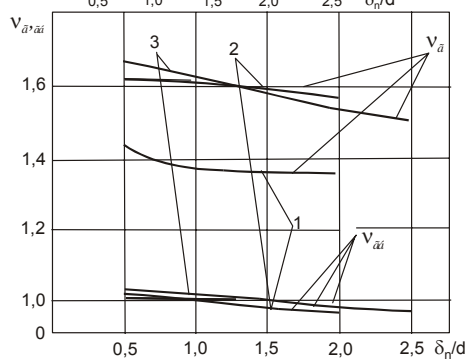
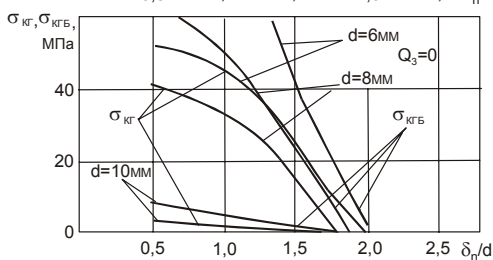


Рис. 21. Влияние отношения δ_n/d на коэффициенты неравномерности контактных давлений под гайкой и головкой болта и максимальные контактные давления в односрезном болтовом соединении с болтом из титанового сплава BT16:

1 – $d = 10$ мм; $Q_3 = 36,2$ кН;
 2 – $d = 8$ мм; $Q_3 = 24,5$ кН; 3 – $d = 6$ мм; $Q_3 = 13,6$ кН; $P = 10$ кН; $f_{1,2} = 0,25$;
 $\gamma_{1,2} = 13,5 \frac{\text{кН}}{\text{мм}^3}$; $E_1 = 115$ ГПа;
 $E_{21} = E_{22} = 120$ ГПа; $\delta_{n1} = \delta_{n2} = \delta_n$



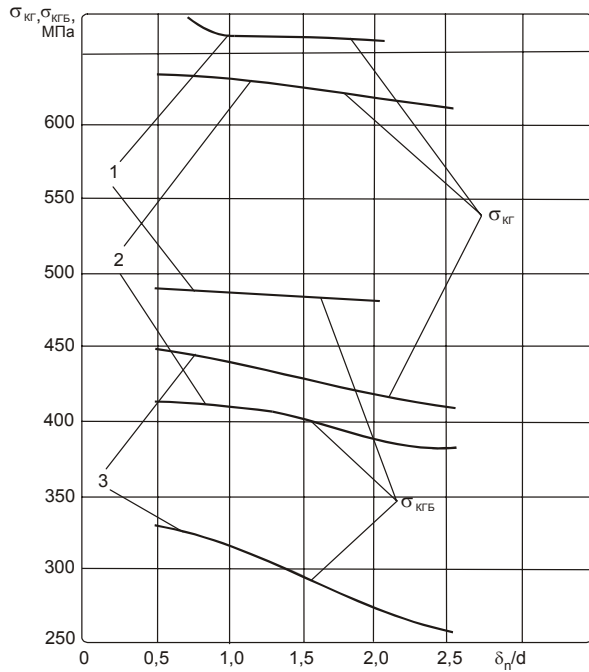


Рис. 22. Влияние отношения δ_n/d на максимальные контактные давления под гайкой и головкой болта в односрезном болтовом соединении с болтом из титанового сплава ВТ16:

1 – d = 10 мм; $Q_3 = 36,2$ кН; 2 – d = 8 мм;

$Q_3 = 24,5$ кН; 3 – d = 6 мм; $Q_3 = 13,6$ кН;

$P = 10$ кН; $f_{1,2} = 0,25$; $\gamma_{1,2} = 13,5 \frac{\text{кН}}{\text{мм}^3}$;

$E_1 = 115$ ГПа; $E_{21} = E_{22} = 120$ ГПа;

$$\delta_{n1} = \delta_{n2} = \delta_n$$

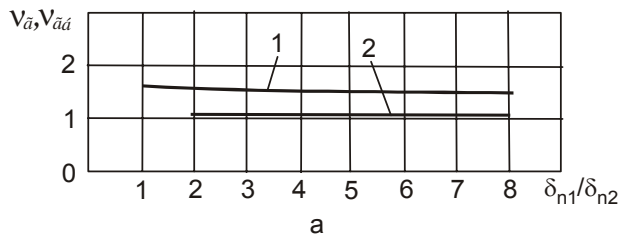
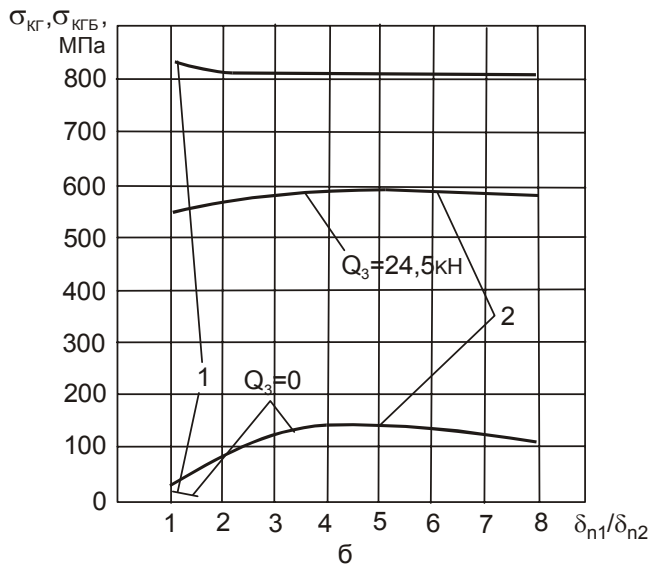


Рис. 23. Влияние отношения δ_{n1}/δ_{n2} на коэффициенты неравномерности контактных давлений и на максимальные контактные давления под гайкой и головкой болта в односрезном соединении с болтом из титанового сплава ВТ16 диаметром 8 мм: 1 – гайка; 2 – головка болта;

$P = 10$ кН; $f_{1,2} = 0,25$; $\gamma_{1,2} = 13,5 \frac{\text{кН}}{\text{мм}^3}$;

$E_1 = 115$ ГПа; $E_{21} = E_{22} = 120$ ГПа;

$$\delta_{n2} = 5 \text{ мм}; \bar{\Psi} = 0$$



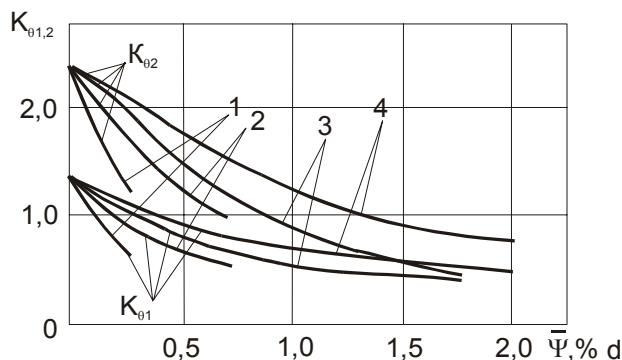


Рис. 24. Влияние радиального натяга на коэффициенты неравномерности погонной нормальной контактной нагрузки по длине болта в односрезном соединении без затяжки при соотношении толщин пластин $\delta_{n2} = 2 \delta_{n1}$: 1 – $P = 10$ кН; 2 – $P = 20$ кН; 3 – $P = 30$ кН; 4 – $P = 40$ кН; $Q_3 = 0$; $f_{1,2} = 0,21$; $d = 8$ мм; $\gamma_{1,2} = 13,5 \frac{\text{кН}}{\text{мм}^3}$; $E_1 = 210$ ГПа; $E_{21} = E_{22} = 120$ ГПа; $\delta_{n1} = 5$ мм; $\delta_{n2} = 10$ мм;

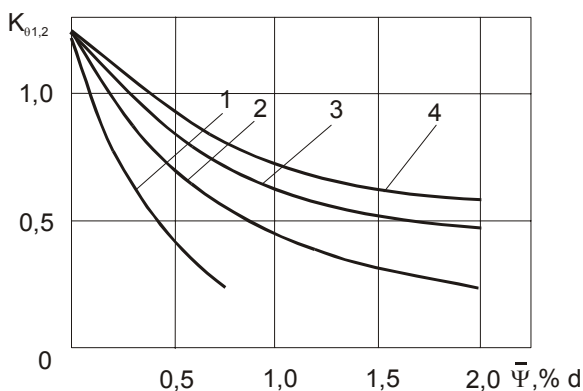


Рис. 26. Влияние радиального натяга на коэффициенты неравномерности погонной нормальной контактной нагрузки по длине болта в односрезном соединении без затяжки и с равными толщинами пластин: 1 – $P = 10$ кН; 2 – $P = 20$ кН; 3 – $P = 30$ кН; 4 – $P = 40$ кН; $Q_3 = 0$; $f_{1,2} = 0,21$; $d = 8$ мм; $\gamma_{1,2} = 13,5 \frac{\text{кН}}{\text{мм}^3}$; $E_1 = 210$ ГПа; $E_{21} = E_{22} = 120$ ГПа; $\delta_{n1} = \delta_{n2} = 5$ мм; $K_{\theta 1} = K_{\theta 2}$;

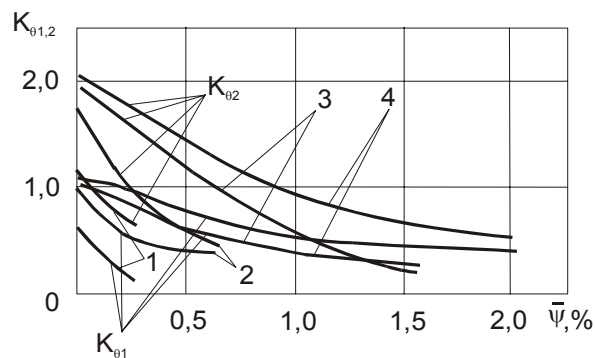


Рис. 25. Влияние радиального натяга на коэффициенты неравномерности погонной нормальной контактной нагрузки по длине болта в односрезном соединении при усилии затяжки болта 25 кН и соотношении толщин пластин $\delta_{n2} = 2 \delta_{n1}$: 1 – $P = 10$ кН; 2 – $P = 20$ кН; 3 – $P = 30$ кН; 4 – $P = 40$ кН; $Q_3 = 0,25$ кН; $f_{1,2} = 0,21$; $d = 8$ мм; $\gamma_{1,2} = 13,5 \frac{\text{кН}}{\text{мм}^3}$; $E_1 = 210$ ГПа; $E_{21} = E_{22} = 120$ ГПа; $\delta_{n1} = 5$ мм; $\delta_{n2} = 10$ мм;

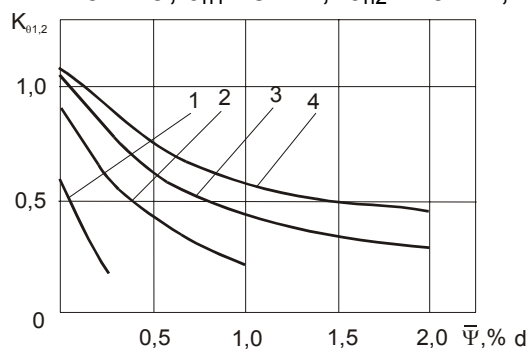


Рис. 27. Влияние радиального натяга на коэффициенты неравномерности погонной нормальной контактной нагрузки на болт в односрезном соединении при усилии затяжки болта 25 кН и равных толщинах пластин $\delta_{n1} = \delta_{n2}$: 1 – $P = 10$ кН; 2 – $P = 20$ кН; 3 – $P = 30$ кН; 4 – $P = 40$ кН; $Q_3 = 25$ кН; $f_{1,2} = 0,21$; $d = 8$ мм; $\gamma_{1,2} = 13,5 \frac{\text{кН}}{\text{мм}^3}$; $E_1 = 210$ ГПа; $E_{21} = E_{22} = 120$ ГПа; $\delta_{n1} = \delta_{n2} = 5$ мм; $K_{\theta 1} = K_{\theta 2}$;

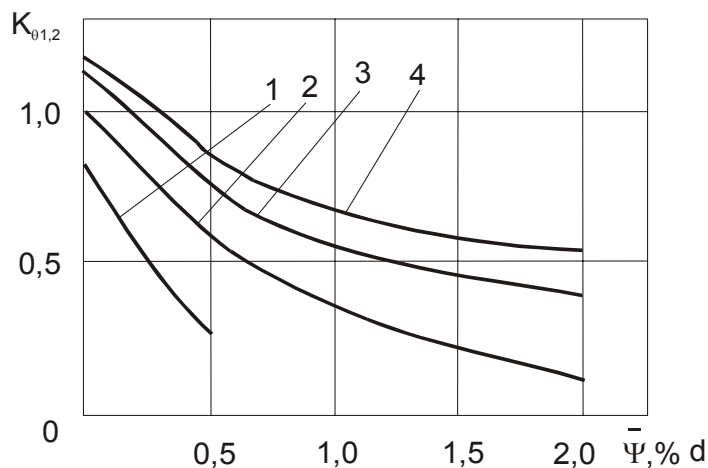


Рис. 28. Влияние радиального натяга на коэффициенты неравномерности погонной нормальной контактной нагрузки по длине болта в односрезном соединении при усилии затяжки болта

10 кН и равных толщинах пластин

$$\delta_{n1} = \delta_{n2};$$

1 – $P=10$ кН; 2 – $P=20$ кН;

3 – $P=30$ кН; 4 – $P=40$ кН; $Q_3 = 10$ кН;

$$f_{1,2} = 0,21; d = 8 \text{ мм}; \gamma_{1,2} = 13,5 \frac{\text{кН}}{\text{мм}^3};$$

$$E_1 = 210 \text{ ГПа}; E_{21} = E_{22} = 120 \text{ ГПа};$$

$$\delta_{n1} = \delta_{n2} = 5 \text{ мм}; K_{01} = K_{02}$$

Повышение радиального натяга от $\bar{\Psi} = 0$ до $\bar{\Psi} = 1,5\% d$ в односрезном соединении из сплава ВТ6 и болтом из стали 30 ХГСА приводит к уменьшению величины K_0 на 50...80%. Это явление объясняется изменением характера передачи нагрузки болтом с одной соединяемой пластиной на другую. В соединении без радиального натяга усилие P с пластины на пластину передается посредством нормальной контактной нагрузки $P(x)$. В соединениях с радиальным натягом существенное значение при передаче нагрузки имеют силы трения между телом болта и стенкой отверстия $q(x)$, посредством которых значительная часть нагрузки передается с одной пластины на другую. При больших значениях радиального натяга $\bar{\Psi} > 0,5\% d$ и эксплуатационных уровнях внешней нагрузки $P < 10 - 12$ кН ($P < 0,3 P_p$) вся нагрузка на силовую точку соединения (болт) может передаваться силами трения, возникающими от действия нормальной контактной нагрузки между стенкой отверстия и болтом, вызванной радиальным натягом. Болт при этом практически не поворачивается и не изгибается.

Выводы

1. Разработан метод определения влияния конструктивно-технологических параметров односрезного болтового соединения на распределение контактных давлений в зоне сопряжения его элементов.
2. Отношение толщины соединяемого пакета к диаметру болта существенно влияет на величину коэффициента неравномерности погонной нормальной контактной нагрузки. Рекомендуется применять в соединениях соотношение толщины пакета и диаметра болта $\delta_1 + \delta_2 \leq 2d$, при этом обеспечивается величина $K_0 < 2$.

3. В односрезных соединениях пластин из сплава ВТ6 различной толщины $\frac{\delta_{n1}}{\delta_{n2}} > 1$ увеличение толщины δ_{n1} от $\delta_{n1}=\delta_{n2}$ до $\delta_{n1}=4 \delta_{n2}$ приводит к увеличению $k_{\theta 1}$ до значений $k_{\theta 1}=4,8...6,8$ для болтов из титанового сплава ВТ16 и до значений $k_{\theta 1}=4,0...5,8$ для болтов из стали 30ХГСА.
4. Применение радиального натяга $\Psi = 0,5...1,5\%$ позволяет снизить величину коэффициентов неравномерности погонной нормальной контактной нагрузки в 2...3 раза.
5. Разработанный метод определения влияния конструктивно–технологических параметров и полученные результаты расчетов необходимы для проектирования односрезных соединений из титанового сплава ВТ6 с учетом заданного ресурса.

Список литературы

1. Баранов П. П. Расчет на прочность болтов в односрезных соединениях // Вестник машиностроения. - 1976. - № 5. - С. 45 - 49.
2. Галкин С. И. Взаимодействие болта с элементами односрезного соединения//Труды ЦАГИ. - Вып. 2018. - Изд. отдел ЦАГИ, 1979.
3. Гребеников А. Г., Клименко В. Н., Ефремов А. Ю. Методика определения коэффициентов неравномерности контактных давлений между элементами односрезного болтового соединения с радиальным и осевым натягом // Вопросы проектирования и производства конструкций летательных аппаратов. – Х.: Харьк. авиац. ин-т. 1998. - Вып. 13. - С. 134 - 159.
4. Клименко В. Н. Методика определения усилий, необходимых для установки болтов с радиальным натягом в пакет из титанового сплава //Открытые информационные и компьютерные интегрированные технологии. – Х.: НАКУ»ХАИ». – 2005. – Вып. 27. – С. 78 – 94.
5. Биргер А. И., Иосилевич Г. Б. Резьбовые соединения. - М.: Машиностроение, 1973. - 256 с.
6. Баранов П. П. Распределение изгибающего момента по виткам резьбы соединения болт – гайка //Расчеты на прочность. - М.: Машиностроение. – 1978. – Вып. 19. – С. 80 – 92.
7. Рябков В. И., Меньшиков В. В. Метод определения упругой оси составного стержня при симметричном поперечном нагружении // Вопросы механики деформируемого твердого тела. – Х.: Харьк. авиац. ин –т.– 1983. - Вып. 4. – С. 120 – 125.
8. Рябков В. И., Меньшиков В. В. К вопросу разработки общей теории напряженно – деформированного состояния узлов // Вопросы механики деформируемого твердого тела. – Х.: Харьк. авиац.ин –т.– 1983. - Вып. 4. – С. 125 – 132.
9. Гребеников А. Г., Клименко В. Н., Трубаев С. В. Оценка изгибных напряжений в накладках односрезного соединения //Вопросы механики деформируемого твердого тела. – Х.: Харьк. авиац. ин-т. 1982. - Вып. 3. – С. 78 – 85.